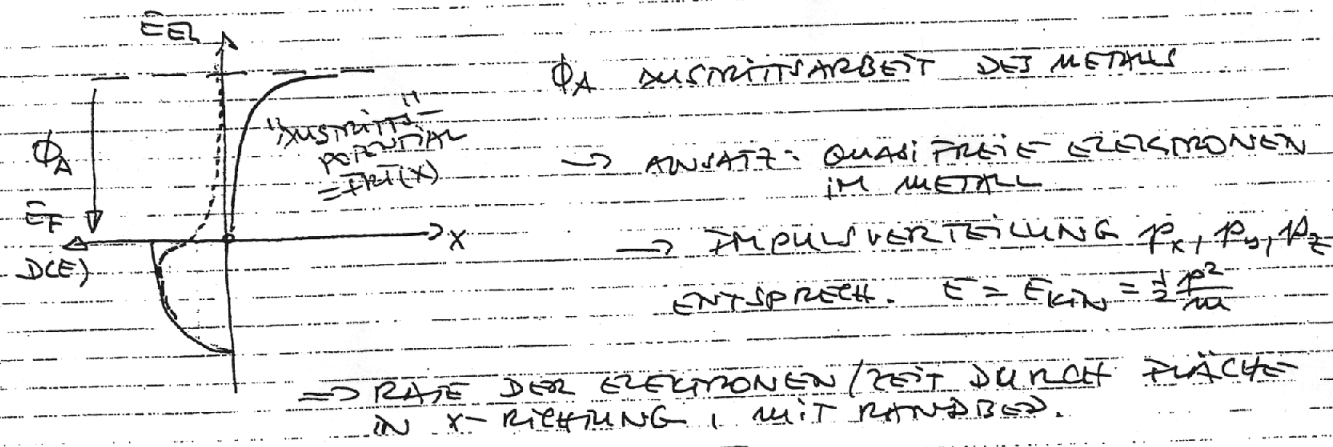


TERMIISCHE ELEKTRONENEMISSION

$$p_{x \min} = \sqrt{2 \phi_A / m}$$

→ PERMUTATION (ALLE FG. DER IMPULSE)

$$f_F(p) = \frac{2V}{N\pi^3} \left[\exp\left(\frac{p^2}{2mkT} - \frac{E_0}{kT}\right) + 1 \right]^{-1}$$

$$d\Phi_p = dp_x dp_y dp_z \rightarrow f_F(p) d\Phi = \frac{2V}{N\pi^3} \left[\exp\left(\frac{p^2}{2mkT} - \frac{E_0}{kT}\right) + 1 \right]^{-1} dp_x dp_y dp_z$$

→ ANTEIL EL. STRÖMDICHTE

$$dj_x^{(p)} = -e \cdot \frac{2N}{V} f_F(p) \cdot \frac{p_x}{m} \cdot dp_x dp_y dp_z$$

$$\rightarrow j_x = -e \cdot \frac{N}{m \cdot V} \iiint p_x f_F(p) dp_x dp_y dp_z \quad \text{MIT ZYL. SYMM.}$$

$$p_s^2 = p_x^2 + p_z^2$$

$$d\Phi = p_y dp_y dp_z dy$$

$$\Rightarrow j_x = \frac{-eN}{m \cdot V} \cdot \frac{2V}{N\pi^3} \int \int \int p_y \cdot p_x \left[\exp\left(\frac{p_x^2}{2mkT} + \frac{p_y^2}{2mkT} - \frac{E_0}{kT}\right) + 1 \right]^{-1} dp_x dp_y dy$$

$$p_{x \min}$$

$$\text{MIT ABSTÜRMERUNGEN} \quad E_K = \frac{p_x^2}{2m}, \quad E_S = \frac{p_y^2}{2m}$$

$$dx = \frac{1}{m} p_x dp_x; \quad dp_y = \frac{1}{m} p_y dp_y$$

$$\Rightarrow j_x = \left(\frac{-e \cdot m^3 \cdot 2}{m^3 \cdot m} \right) \int \int \left[\exp\left(\frac{E_K}{kT} + \frac{E_S}{kT} - \frac{E_0}{kT}\right) + 1 \right]^{-1} dx \cdot dy$$

$$E_K = \phi_A$$

$$\boxed{\phi_A \text{ METALLE}}$$

CS Li Cu Au Ni Pt

$$= -2\pi \cdot 2em \int \int [E_S] \cdot dE_S dx \quad \boxed{\frac{E_0}{2ev}}$$

$$\boxed{j_x = \frac{1}{m^3} (-4\pi e m k^2 T^2) \exp\left(-\frac{\phi_A}{kT}\right)}$$

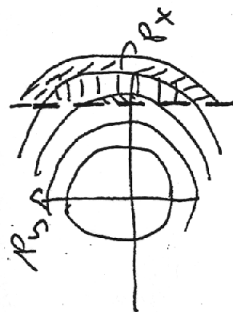
RICHARDSON-DUPLAN-RELATION

$$j_x \text{ SÄTTIGUNG} = -AT^2 \exp\left(-\frac{\phi_A}{kT}\right); \quad A = 120 \frac{A}{cm^2 K^2}$$

3.4 Mittelwert des Energiedifferenzials während Verdampfung und Emission von Elektronen

3 - 5

- ① Ausmittlerbeitrag $\phi_\alpha = \frac{p_{\alpha x}^2}{2m}$
- ② Wegen der Temperaturverteilungen der Ξ . im Festkörper bringt "Fest" Elektron eine "mittlere" kinetische Energie $(\bar{E}_{kin} - \phi_\alpha)$ aus dem Festkörper mit.



Kugelsymmetrie mit $p_x \geq p_{y,z}$ erlaubt die zarte Abhängigkeit der Elektronen (Neutronen) und die übersetzen Kugelsymmetrie.

$$\bar{E}_{kin} = \frac{\int_{p_{\alpha x}}^{+\infty} \int_{-\infty}^{+\infty} f_F(p) dp_x dp_y dp_z}{\int_{p_{\alpha x}}^{+\infty} \int_{-\infty}^{+\infty} f_F(p) dp_x dp_y dp_z} - \phi_\alpha$$

$$\bar{E}_{kin} = \frac{\frac{1}{2m} \int_{-\infty}^{+\infty} \int_{-\infty}^{+\infty} \int_{-\infty}^{+\infty} p_x^3 dp_y dp_z \int_{p_{\alpha x}}^{+\infty} p_x^2 + p_y^2 + p_z^2 dp_x \left[\exp\left(\frac{p_x^2 + p_y^2 + p_z^2 - 2mE_F}{2mkT}\right) + 1 \right] dp_x}{\int_{-\infty}^{+\infty} \int_{-\infty}^{+\infty} \int_{-\infty}^{+\infty} dp_y dp_z \int_{p_{\alpha x}}^{+\infty} p_x \left[\exp\left(\frac{p_x^2 + p_y^2 + p_z^2 - 2mE_F}{2mkT}\right) + 1 \right] dp_x} - \phi_\alpha$$

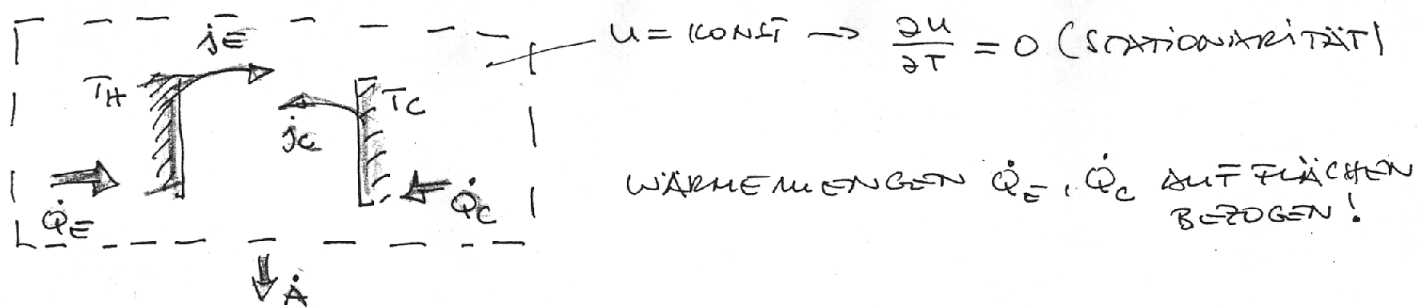
$$\bar{E}_{kin} = 2kT$$

\rightarrow Gesamtkinetische Energie der thermischen Elektronenemission pro Elektron

$$\boxed{\phi_\alpha + 2kT}$$

3.5 BILANZ DER WÄRMEMENGEN UND WIRKUNGSGRAD VON THERMIONISCHEM WANDLERN

3-6



$$\dot{Q}_E = j_E (\phi_E + \frac{2kT_E}{\epsilon}) - j_C (\phi_C + \frac{2kT_C}{\epsilon})$$

$$\dot{Q}_C = j_C (\phi_C + \frac{2kT_C}{\epsilon}) - j_E (\phi_E + \frac{2kT_E}{\epsilon})$$

1. HAUPTSATZ: $dQ = au + dA$ mit $du = 0$
 $\Rightarrow dQ = dA \rightsquigarrow \dot{Q}_E + \dot{Q}_C = \dot{A}_{el}$.

ODER $\dot{A}_{el} = j_E (\phi_E + \frac{2kT_E}{\epsilon}) - j_C (\phi_E + \frac{2kT_E}{\epsilon})$

$$- j_E (\phi_C + \frac{2kT_C}{\epsilon}) + j_C (\phi_C + \frac{2kT_C}{\epsilon})$$

$$= j_E (\phi_E - \phi_C + \frac{2kT_E}{\epsilon} - \frac{2kT_C}{\epsilon})$$

$$- j_C (\phi_E - \phi_C + \frac{2kT_C}{\epsilon} - \frac{2kT_E}{\epsilon})$$

$\dot{A}_{el} = (j_E - j_C)(\phi_E - \phi_C)$

TBEHÄRDENGEN:

$$\dot{A}_{el} = 0 \text{ a) f"ur } j_E = j_C \\ \text{b) f"ur } \phi_E = \phi_C (*)$$

*) Gilt nur f"ur RECHNERUNGSFREIEN FA"LL

2) ROTE APPROXIMATION:

mit $\frac{2kT_E}{\epsilon} \ll \phi_E$; $\frac{2kT_C}{\epsilon} \ll \phi_C$ und $j_E \gg j_C$ FOLGT

$$\frac{j_E \phi_E}{T_E} - \frac{j_E \phi_C}{T_C} \leq 0 \rightsquigarrow \frac{\phi_E}{T_E} \leq \frac{\phi_C}{T_C} \text{ ODER } \boxed{\frac{\phi_E}{\phi_C} \approx \frac{T_E}{T_C}}$$

UND DAMIT

$$\gamma = \frac{j_E(\phi_E - \phi_C) - j_C(\phi_E - \phi_C)}{j_E(\phi_E + \frac{2kT_E}{\epsilon}) - j_C(\dots)} \approx \frac{\phi_E - \phi_C}{\phi_E + \frac{2kT_E}{\epsilon}}$$

UND

$$\gamma_{\text{thermion.}} = \frac{\phi_E - \phi_C}{\phi_E} \cdot \left(\frac{1}{1 + \frac{2kT_E}{\epsilon \cdot \phi_E}} \right) = \gamma_{\text{CARNOT}} \cdot \left[\frac{1}{1 + \frac{2kT_E}{\epsilon \cdot \phi_E}} \right]$$

(3) WENIGER ROHE APPROXIMATION

ANSTELLE VON

$$\frac{\phi_{\bar{e}}}{T_{\bar{e}}} \leq \frac{\phi_c}{T_c} \quad \text{nun via Clausius-Relation}$$

und $j_{\bar{e}} \gg j_c$

$$\frac{j_{\bar{e}}}{T_{\bar{e}}} \left(\phi_{\bar{e}} + \frac{2k\bar{T}_{\bar{e}}}{e} \right) - \frac{j_c}{T_c} \left(\phi_c + \frac{2k\bar{T}_c}{e} \right) \leq 0$$

$$\rightarrow \frac{\phi_{\bar{e}}}{T_{\bar{e}}} + \frac{2k\bar{T}_{\bar{e}}}{e \cdot T_{\bar{e}}} - \frac{\phi_c}{T_c} - \frac{2k\bar{T}_c}{e \cdot T_c} \leq 0 \quad \text{und}$$

$$\frac{\phi_{\bar{e}}}{\phi_c} \approx \frac{T_{\bar{e}}}{T_c} + \frac{2k\bar{T}_{\bar{e}}}{e \cdot \phi_c} \left(\frac{T_{\bar{e}}}{T_c} - 1 \right) \quad \text{ODER}$$

$$\frac{\phi_{\bar{e}}}{T_{\bar{e}}} \approx \frac{\phi_c}{T_c} + \underbrace{\frac{2k}{e} \left(\frac{T_{\bar{e}}}{T_c} - 1 \right)}_{= \varepsilon}$$

DAMIT WIRD DER WIRKUNGSGRAD

$$\gamma = \underbrace{\left(\frac{T_{\bar{e}} - T_c}{T_{\bar{e}}} \right)}_{= \frac{T_{\bar{H}} - T_c}{T_{\bar{H}}}} \left(\frac{1}{1 + \left(\frac{2k}{e} \right) \cdot \frac{T_{\bar{e}}}{\phi_{\bar{e}}}} \right)$$

$$= \gamma_{\text{CNOT}}$$

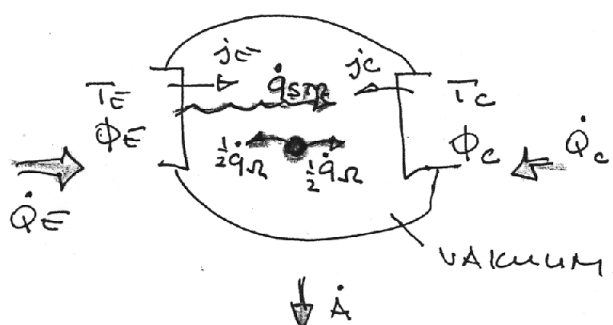
$$\rightarrow \gamma = \left(\frac{T_{\bar{e}} - T_c}{T_{\bar{e}}} \right) \left(\frac{1}{1 + \frac{2k}{e} \left(1 - \frac{1}{\varepsilon} \right) \cdot \frac{T_c}{\phi_c}} \right)$$

\sim
ETWAU KLEINER ALS BEI ROHER APPROXIMAT. IN α)
 \rightarrow NENNER KLEINER ALS IN α)

$$\Rightarrow \gamma_{(3)} > \gamma_{\alpha})$$

3-8

3.6 THERMIONISCHER GENERATOR MIT REZEN VERURSACHEN



\dot{q}_{str} STRAHLUNG ($\propto T^4$)

\dot{q}_R OHMISCHE HEIZUNG

MIT METTO-BILANZ

$$\dot{q}_{\text{str}} = G \cdot \epsilon \cdot T_E^4 - G \cdot \epsilon \cdot T_C^4$$

$$\dot{q}_R = (j_E - j_C) \cdot R \quad *)$$

(JEWELS DER HÄLFTE ÜBER
EMITTER BZW. (COLLECTOR)
MASS DERN ABGEFLÜHT)

BILANZ DER WÄRMEMENGEN (AUF FLÄCHEN BEZOGEN)

$$\dot{Q}_E = j_E (\phi_E + \frac{2kT_E}{e}) - j_C (\phi_C + \frac{2kT_C}{e}) + \epsilon \cdot G (T_E^4 - T_C^4) - \frac{1}{2} (j_E - j_C)^2 \cdot R$$

$$\dot{Q}_C = - j_E (\phi_C + \frac{2kT_C}{e}) + j_C (\phi_C + \frac{2kT_C}{e}) - \epsilon \cdot G (T_E^4 - T_C^4) - \frac{1}{2} (j_E - j_C)^2 \cdot R$$

UND DARAUS:

$$\rightarrow \gamma = \frac{\dot{Q}_E + \dot{Q}_C}{\dot{Q}_E} = \frac{(j_E - j_C)(\phi_E - \phi_C) - (j_E - j_C)^2 \cdot R}{j_E(\phi_E + \frac{2kT_E}{e}) - j_C(\phi_C + \frac{2kT_C}{e}) + \epsilon G (T_E^4 - T_C^4) - \frac{1}{2} (j_E - j_C)^2 \cdot R}$$

ZUR WEITEREN BETRACHTUNG NUN EINE RESISTIVITÄTSENAHME
 $j_C \approx 0$!

DAMIT WIRD

$$\gamma = \frac{j_E(\phi_E - \phi_C) - j_E^2 \cdot R}{j_E(\phi_E + \frac{2kT_E}{e}) + \epsilon G (T_E^4 - T_C^4) - \frac{1}{2} j_E^2 \cdot R}$$

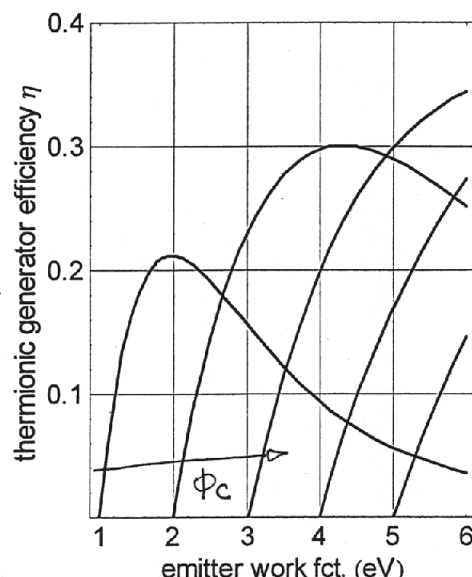
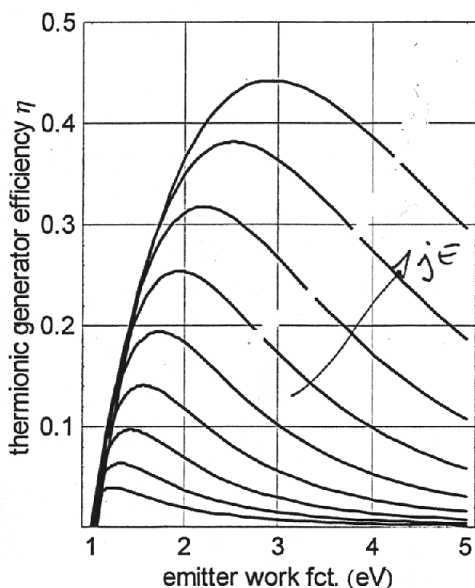
$$\rightarrow \gamma = \frac{(\phi_E - \phi_C) - j_E R}{(\phi_E + \frac{2kT_E}{e}) + \epsilon G (T_E^4 - T_C^4) - \frac{1}{2} j_E^2 R}$$

*) MIT $j^2 \cdot R = (\frac{I}{A})^2 \cdot R \rightarrow R \text{ IN EINHEITEN } \Omega \text{ cm}^2$
 R FLÄCHE

OPTIMIERUNG DES WIRKUNGSGRADES

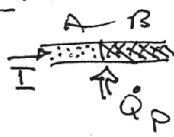
- ① Φ_c möglichst klein (Material-eigenschaft!)
- ↳ für $\Phi_c \rightarrow 0$ (würden auf E_F den Festkörper verlassen können)
- ② Φ_E optimieren mit $T_E \rightarrow j_E$ etc ...
- ③ j_E möglichst gross, damit Einfluss von Strahlung ($(T_E^4 - T_C^4) \cdot \frac{1}{j_E}$) klein wird
ABER! Radialladungseffekte
 → vgl. später!

(via Poisson Gleich. wird Pot.-Diff. für unipolare Trägerstromung notwendig)



$\Phi_c = 1 \text{ eV}$
 $(T_E \text{ so, dass } j_E$
 bei entsprech.
 Φ_E entstehen
 wenden kann)

$$j_E = \text{CONST} (10 \text{ A/cm}^2)$$

ZUSÄTZ BEMERKUNG3.6 VERGLEICHTERMOELEKTRISCHER GENERATOR
VS. THERMIONISCHE GENERATORTERMOELEKTRIKPELTON-EFFECT:

$$\dot{Q}_p = I \cdot \pi_{AB}; \pi = \alpha \cdot \Gamma$$

$$\Rightarrow \alpha = \frac{\pi}{\Gamma} = \frac{\dot{Q}}{I} \cdot \frac{1}{\Gamma}$$

WÄRME TRANSPORT

$$\dot{Q}_{WL} = J \cdot K \cdot \Delta T$$

TERMINIKRICHARDSON-EFFECT

$$\dot{Q}_e = I \left(\Phi_e + \frac{2kT_e}{e} \right)$$

$$\alpha^* = \frac{\dot{Q}_e}{T_e} \cdot \frac{1}{I} = \frac{\Phi_e}{T_e} + \frac{2k}{e}$$

$$\dot{Q}_{TRANSP.} = \left(\frac{I}{A} \right) \left[\frac{2k(T+\Delta T)}{e} - \frac{2h}{e} \right] + G \cdot e \cdot 4 \cdot T^3 \cdot \Delta T$$

$$\dot{Q}_{trans.} = j \cdot K^* \cdot \frac{\Delta T}{\Delta x}$$

$$\text{mit } K^* = \left\{ \frac{2k\Delta T}{e} \cdot j + 4eG \cdot T^3 \right\} \cdot \Delta x$$

E. LEITFÄHIGKEIT

$$j = \sigma \cdot E_E$$

in Bereich "ANLAUFKERN-
LINIEN"

$$\Delta \varphi = U = \frac{kT}{e}$$

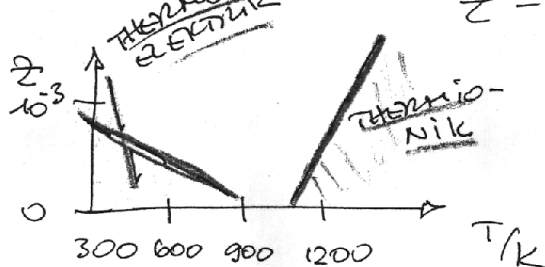
$$\rightarrow \frac{\Delta U}{\Delta x} = E_x \quad (\text{E. FELDST.})$$

$$\text{mit } j = \sigma^* \cdot E_x \text{ WIRD}$$

$$\sigma^* = \frac{j \cdot \Delta x \cdot e}{hT}$$

EFFEKTIVITÄT (FIGURE OF
MERIT)

$$\tau = \frac{L^2}{JL \cdot r}$$



\Rightarrow

$$\tau^* = \frac{(\alpha^*)^2}{J \cdot K^* \cdot \frac{1}{\sigma^*}}$$

3.7 DOKUMADUNGS-EFFEKTE

a) PHÄNOMENOLOGISCHES

ELEKTRONEN EMISSION (CHARAKTERISTIK DES z.B. EMITTERS)

$$\begin{array}{c} \Phi_e \rightarrow \Theta \Theta \Theta \\ \text{TE} \\ \text{FE} \\ \longrightarrow x \end{array} \quad \text{TRAGEN ZUR RAHMADUNG BEI } \varphi(x)$$

→ INER TRANSPORT (STATIONÄR)
→ $j = \text{CONST} = e \cdot n \cdot v$

MIT $n = n(x)$ UND $v = v(x)$

POTENTIALBEZICHTUNG (1-DIM.) MIT POTENTIAL $\varphi(x)$

$$\frac{d^2 \varphi(x)}{dx^2} = - \frac{\rho(x)}{\epsilon \epsilon_0} = - \frac{n(x) \cdot e}{\epsilon \epsilon_0} = - \frac{(j) \cdot e}{\epsilon \epsilon_0 v(x) \cdot e} \quad u(x) = \frac{j}{e \cdot v(x)}$$

UND MIT BALLISTISCHEN TRANSPORT

$$\frac{1}{2} m v^2 = e \cdot \varphi, \text{ ALSO}$$

FOLGT

$$v = \sqrt{\frac{2e}{m} \cdot T \varphi(x)}$$

$$\frac{d^2 \varphi(x)}{dx^2} = \frac{(-j)}{\epsilon \epsilon_0} \cdot \sqrt{\frac{m}{2e}} \cdot \frac{1}{T \varphi} \quad ; \quad \text{VACUUM} \Rightarrow \epsilon = 1$$

ODER

$$\frac{d^2 \varphi(x)}{dx^2} \cdot T \varphi(x) = \underbrace{\frac{(-j)}{\epsilon_0} \frac{1}{\sqrt{\frac{2e}{m}}}}_{\beta} = \text{CONST.}$$

$$\varphi'' \cdot T \varphi = \beta \quad \rightarrow \text{MIT ANSATZ ZUR LÖSUNG}$$

$$\varphi = a \cdot x^s \text{ WIRD}$$

$$a^{\frac{1}{2}} \cdot x^{\frac{s+2}{2}} \cdot (s-1) \cdot s \cdot a \cdot x^{s-2} = \text{CONST} = \beta$$

$$\rightarrow x^{s-2 + \frac{s}{2}} = \text{CONST} = \beta^* = x^0 \rightarrow s-2 + \frac{1}{2}s = 0$$

$$\text{ODER } s = \frac{4}{3}$$

UND WEITER

$$a \cdot a^{\frac{1}{2}} \cdot x^{\frac{s-2}{2}} \cdot (s-1) \cdot s = \beta$$

ODER

$$a = \dots = \left[\frac{9}{4} \cdot \frac{1}{\epsilon_0} \frac{(-j)}{\sqrt{\frac{2e}{m}}} \right]^{2/3}$$

$$\Rightarrow \boxed{\varphi(x) = \left[\frac{9}{4} \cdot \frac{1}{\epsilon_0} \frac{(-j)}{\sqrt{\frac{2e}{m}}} \right]^{2/3} \cdot x^{4/3}}$$

MIT RANDBEDINGUNG EN

$$\varphi(x=0) = 0 \text{ und } \varphi(x=d) = V_{CE} \quad (\text{COLLECTOR-EMITTER-POTENTIALDIFFERENZ})$$

WIRD

$$V_{CE} = \left[\frac{g}{4} \cdot \frac{1}{\epsilon_0} \cdot \frac{(-j)}{\sqrt{\mu}} \right]^{2/3} \cdot d^{4/3}$$

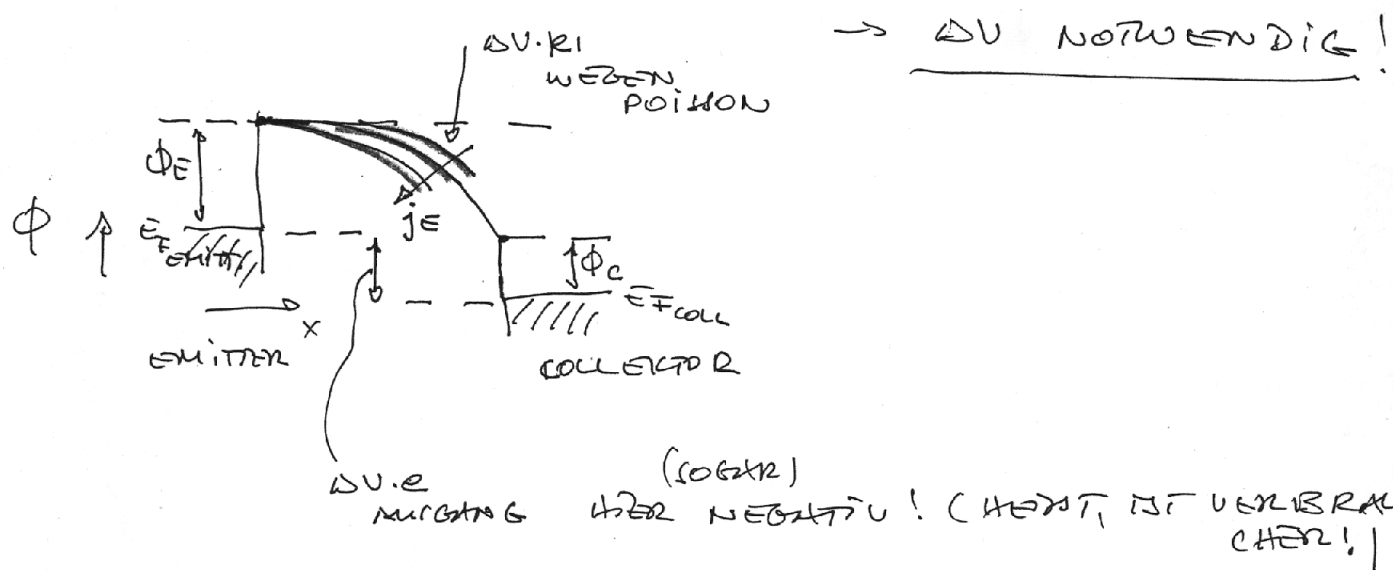
UND DIBUIT

$$(-j) = \frac{4}{g} \cdot \epsilon_0 \sqrt{\frac{2e}{\mu}} \cdot \frac{1}{d^2} \cdot V_{CE}^{3/2}$$

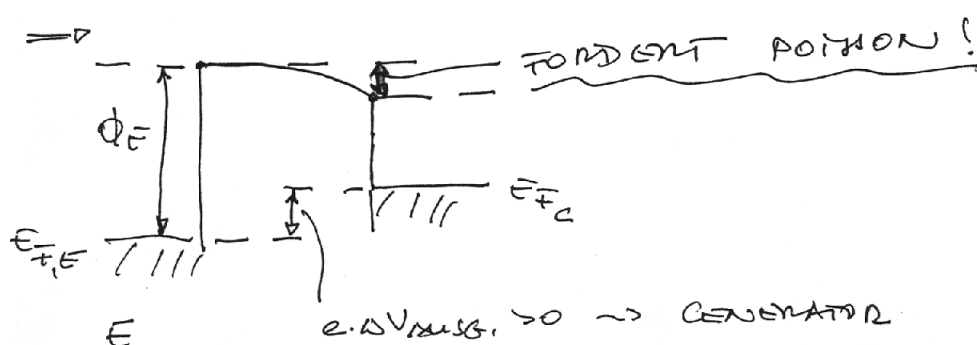
ELEKTRONEN!

STROMDICHE - SPANNUNGS-
BEZIEHUNG FÜR
VAKUUMDIODE

\Rightarrow D.H. FÜR VORGEGEBENE STROMDICHE UND
GEGB. ABSTAND \rightarrow ZUM TRITTPUNKT
(UNI POLAR!)



\rightarrow ΔV NOTWENDIG!



T ZAHLENBEISPIEL: WIR "SPENDIEREN" ΔV_{CE} _{POTENTIAL} = 0.1 VOLT

$$\Rightarrow d^2 = \frac{4}{g} \cdot \epsilon_0 \sqrt{\frac{2e}{\mu}} \cdot \frac{(0.1V)^{3/2}}{10A/cm^2}$$

$$\therefore d^2 = 2.3 \times 10^{-8} \text{ cm}^2 \Rightarrow \boxed{d \approx 1.5 \times 10^{-4} \text{ cm} = 1.5 \text{ Spur!}}$$

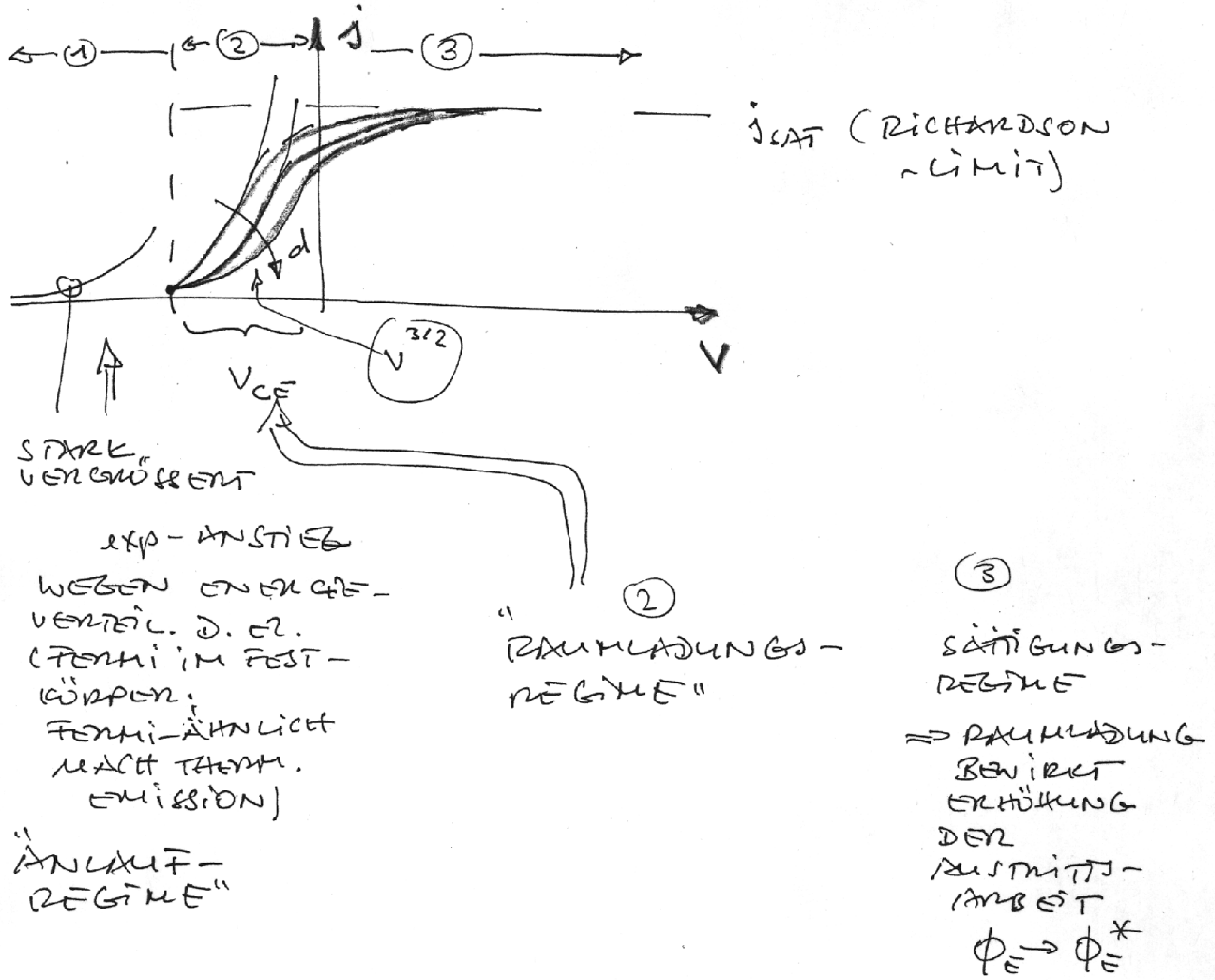
CALCIERT A.B. MIT THERMISCHEM
AUDEHNUNG

BOOK PER GENOM. DET. GANZ
PER GENOM. DET. GANZ

BOOK

3.7 STROM- SPANNUNGSKENN LINIEN IN RICHTUNG
POTENZIELLEN DIODEN

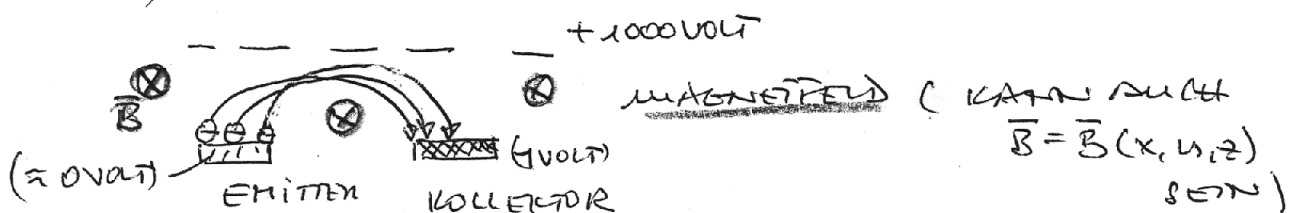
3-13.



3.3 METHODEN ZUR VERMINDEUNG DER RAUHLADUNGSSTÖRÜSSE

VERMEIDUNG DES KONZEPTES "SPALTDIODEN"
(ERZELMODENABDÄNDE VON WENIGEN μm)

a) MAGNETISCHE TRIODE



ABER: ⚡ -EZ-WEEHTEZWIRKUNG (COULOMB)

⚡ ÜBERLAPP.-PUNKTE

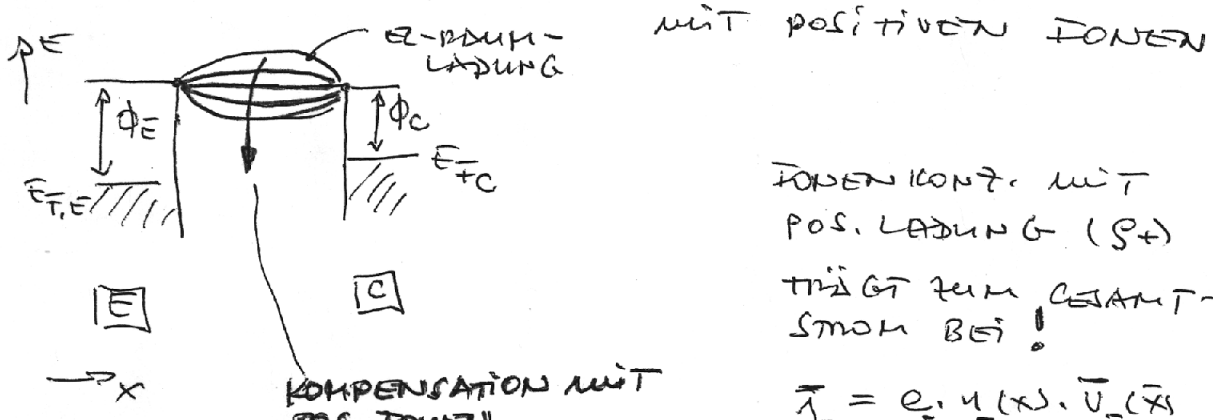
⚡ ENTHÜBTENZL. BEI EMISSION
(\rightarrow GEKHUND. WENN ZL.)

\Rightarrow KEINE "PUNKTISCH" EINSTELLBAREN
TRAJECTORIEN

\rightarrow EZ. AUCH ZU +1000 VOLT-GITZEN!

\Rightarrow VERWISSE ($>$ ALLES GEGENW!).

b) KOMPENSATION DER RAUHLADUNG



FÜR VOLLESTÄNDIGE KOMPENSATION

$n_-(x) = n_+(x)$ UND BEWEGBLICHT-VERHÄLTNISSE

$$\Rightarrow \frac{j_+}{j_-} \sim \frac{\mu_+}{\mu_-} \sim \frac{n_+}{n_-} \rightarrow j_+ \text{ KLEIN} \sim \mu_+ \text{ KLEIN} \rightarrow \text{EUTL. GROKE MAX. D. IONEN!}$$

→ FORDERUNG FÜR PAR. RAUMLADUNG

→ LEICHTE IONISIERBARKEIT DER ZWÄTTZLICHEN ATOME! → IONISIERUNGSENERGIE

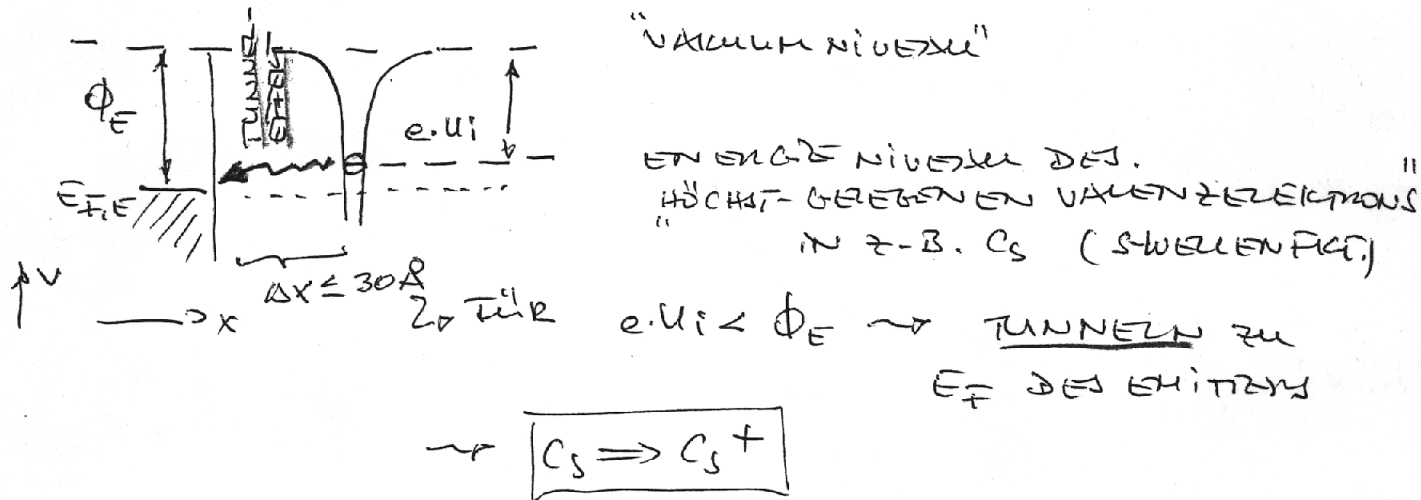
KRITERIEN BENÖTIGTHEIT MAJE UND IONISIERUNGS-
ENERGIE \Rightarrow Cs-ATOME

→ C_s^+ IM OBERFLÄCHEN-IONISIERUNGS-EFFEKTEN

⇒ 3.9 SYSTEM WOLFRAM - CAESIUM

OBERFLÄCHEN-EFFEKT ZUR IONISIERUNG
+ KOMPENSATION DER ELECTRONEN-
RAUMLADUNG)

a) IONISIERUNG AN OBERFLÄCHE



FÜR EMITTER TEMP. T_E EX. WAHRSCHEINLICH-
KEIT ZUR "DESORPTION" VON C_s^+ -IONEN IN
DIE GASPHASE \rightarrow THERMISCHE ACTIVIERTE RATE
FÜR STATIONARITÄT

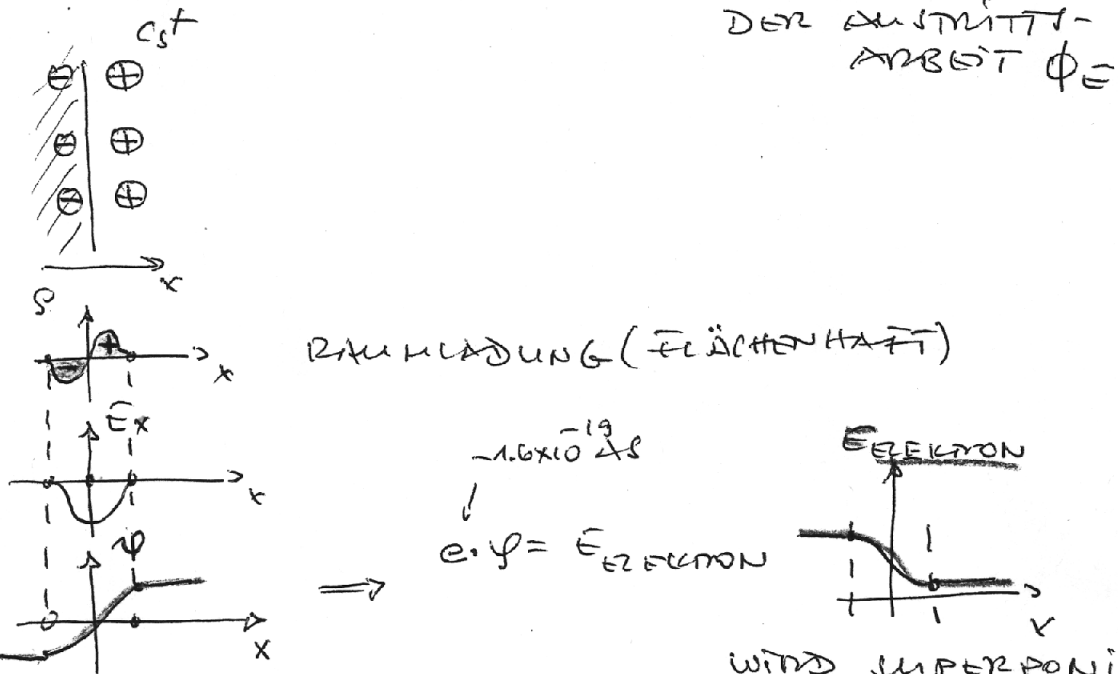
$$\rightarrow \Gamma_{\text{ADSORPT.}} = \Gamma_{\text{DESORPT.}}$$

$$\Gamma_{\text{ADSORPT.}} = \Gamma_{\text{ADSORPT.}}(n_{\text{Cs, GASPHASE}}, \dots)$$

$$\Gamma_{\text{DESORPT.}} = \Gamma_{\text{DESORPT.}}(\text{BEDECKUNG} = \text{KONZENTRATION}, \text{OBERFLÄCHE}, \text{TOBERFLÄCHE}, \dots)$$

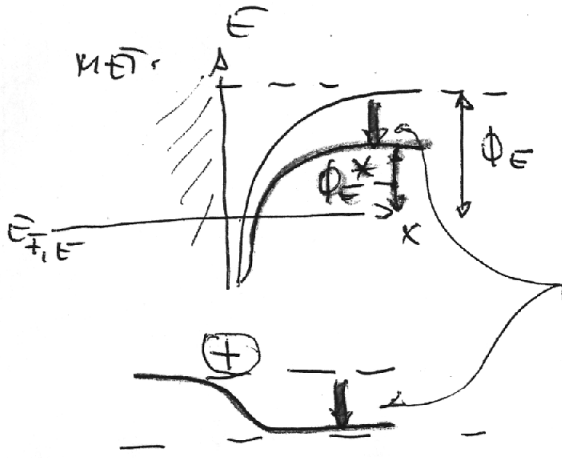
b) ZUSÄTZLICHER EFFEKT AUF BEDECKUNG DER OBERFLÄCHE MIT POS. IONEN

\Rightarrow DIPOLMOMENT \rightarrow MODIFIKATION



BEVOR LADUNG (FLÄCHENHAFT)

WIRD SUPERPONENT
ZU UNCORRIGIERTER
AUSTRISSARBEIT
(z.B. VIA BODIGRATT-
ANSATZ)



ABSENKUNG D.
AUSTRISSARBEIT VON $\phi_E \rightarrow \phi_E^*$
DURCH BEDECKUNG
DER OBERFLÄCHE MIT
POS. IONEN

c) GENERATOR-KONZEPT WOLFRAM-CÄSİUM

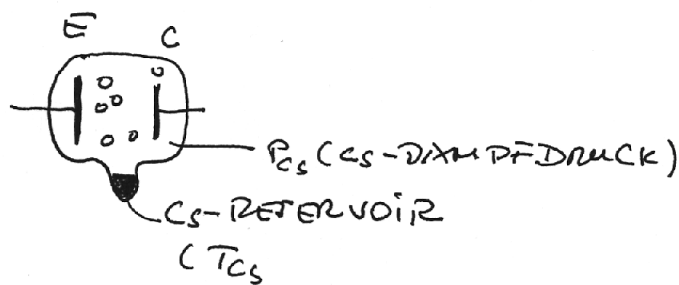
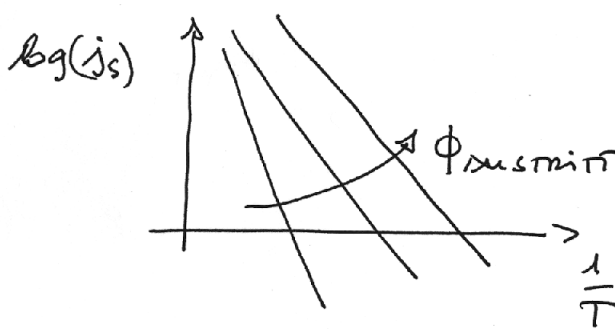


DIAGRAMM SPENDICHTE (THERM. EMISSION)
ÜBER INVERSE TEMPERATUR



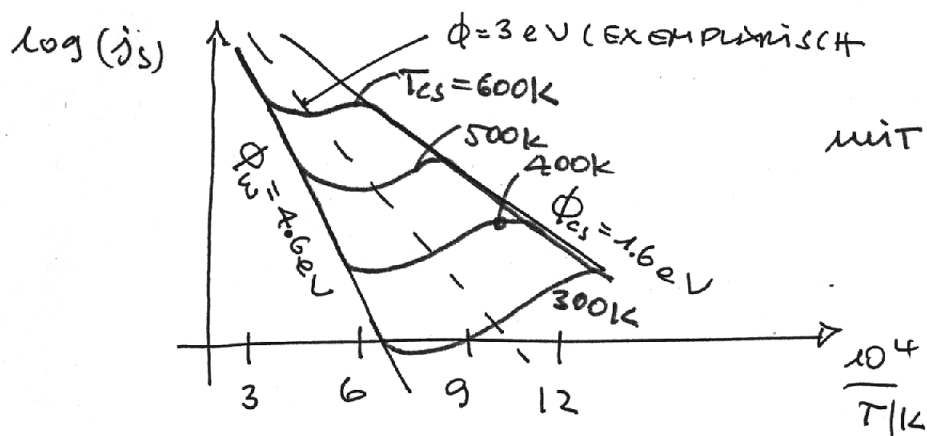
MIT RICHARDSON-RELATION

$$j_s \sim T^2 \cdot \exp\left(-\frac{\Phi_{\text{Ausstr}}}{kT}\right)$$

$$\sim \ln(j_s) \sim \left(-\frac{1}{kT}\right) \cdot \Phi_{\text{Ausstr.}}$$

(VERNAHÄLTIG. TERM
MIT T^2)

→ $j = j\left(\frac{1}{T}\right)$ FÜR EMITTER UND KOLLEKTOR



MIT C_s DAMPFDRUCK/
RESERVOIR-TEMP.
→ BEDECKUNG
VON E UND C
(LANGMUIRSCHE
S-CURVEN)

→ BETRIEB VON EMITTER-KOLLEKTOR-KONFIGU-
RATION

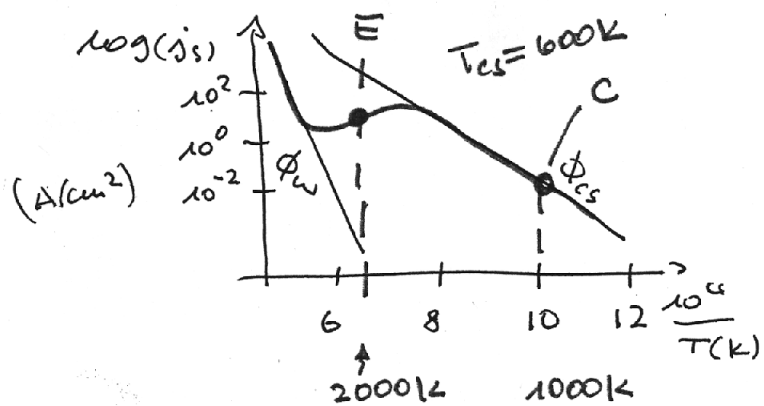
a) HÖHERE Cs-DRUCK (TEMP. T_{Cs})

↪ HÖHENDRUCK-KONVERTER

b) NIEDRIGER Cs-DAMPFDRUCK (TEMP. T_{Cs})

↪ NIEDERDRUCK-KONVENTER

zu 2) Hochdruck-Konverter



$$j_E \uparrow; j_C \uparrow \approx (0.1 j_E)$$

$$\phi_E = 3 \text{ eV}; \phi_C = 1.67 \text{ eV}$$

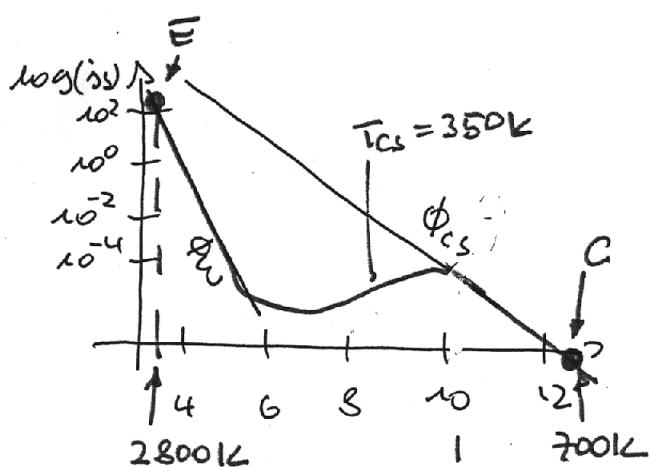
$$T_E = 2000\text{K}; T_C = 1000\text{K}$$

$$P_{Cs} = 1 \text{ mbar}$$

$$\frac{P_{E2}}{A} = 10 \frac{\text{W}}{\text{cm}^2}$$

$$\eta \leq 15\%, d_{Ee} \approx 1 \text{ mm}$$

zu 3) Niederdruck-Konverter



$$j_E \uparrow; j_C \ll j_E$$

$$\phi_E = 4.6 \text{ eV}; \phi_C = 1.7 \text{ eV}$$

$$T_E = 2800\text{K}, T_C = 700\text{K}$$

$$P_{Cs} = 10^{-3} \text{ mbar}$$

$$\frac{P_{E2}}{A} \approx \frac{1 \text{ W}}{\text{cm}^2}; \eta \leq 10\%$$

3.10 EDERGAS-KONVERTER

3-19

KOLLEKTORAUSTRITTSARBEIT $\Phi_C \approx 1.7 \text{ eV}$ MIT C_1 IST
DAS MINIMALE WERT

→ IM VAKUUM ODER MIT EDERGASEN
 $\Phi_K = 1 \text{ eV}$ REALISIERBAR

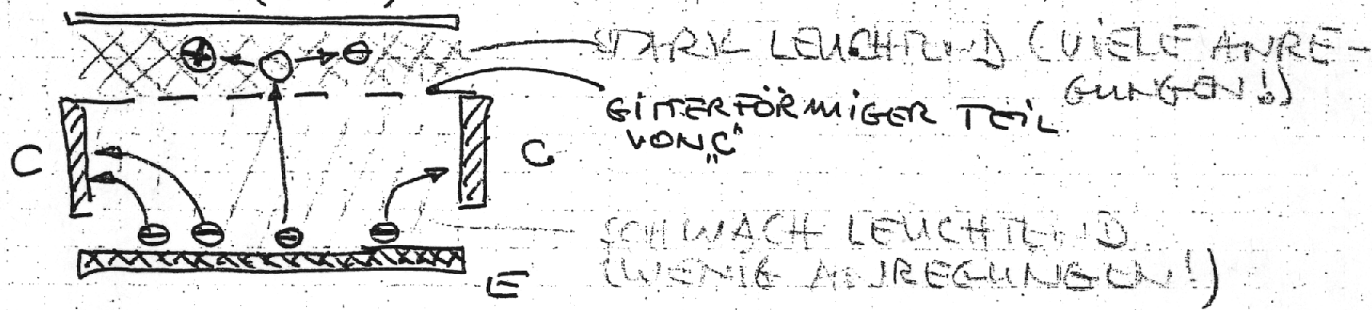
RAHMENLADUNGSKOMPENSATION MIT EDERGASEN
($p = 0.1 \text{ TORR}$)

DA Φ_E REZT. KLEIN $\rightarrow \Phi_E$ DUCH KLEINER ALS
SONST!

→ T_E, T_K NIEDRIGER

KONZEPT:

Z.B.
(+10V) HILFSELEKTRODE



IONISIERUNG MIT HILFE:

- SELBSTÄNDIGER ENTLADUNG (NIEDERVOLT-BÖREN)
- UNSERBT. ENTLADUNG
MIT RADIOAKT. MATERIALEN
- HILFSANORDNUNG (3. ELEKTRODE, VOR. BILD!)

3. II HEAT PIPES FÜR EFFIZIENTEN ÜBERTRAGUNG TRANSPORT VON WÄRME

a) TRANSPORT VON WÄRME VIA WÄRMELEITUNG

→ WÄRMELEITWERT $K = \text{de. } \frac{A}{l} \leftarrow$ QUERSCHNITTSFLÄCHE
 \uparrow LÄNGE
 WÄRMELEITFÄHIGKEIT

CONSTANTE (Au, Cu, Ag)

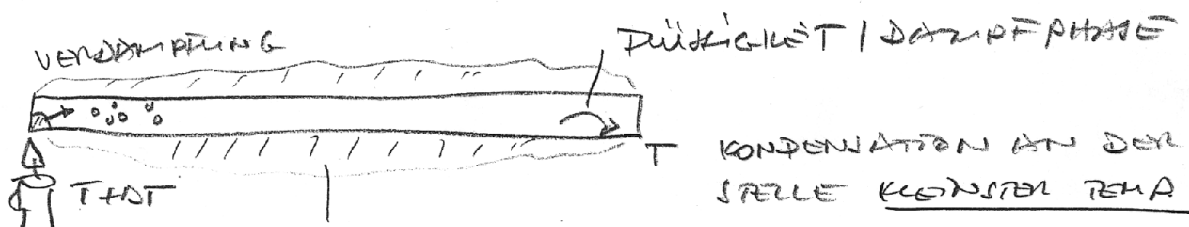
$$\text{de} \approx (300-500) \frac{\text{W}}{\text{mK}}$$

→ AT SPENDIEREN INNEN TRANSPORT

AT $\approx l$!! GEWEITEN WEIT, UM HO
 GRÖßEREN AT ZU WÄRMEN!

b) TRANSPORT MIT DIFFUSION + PHASENÜBERGANG

AT ABER NUR ZUM "DURCHLAUFEN" DES PHASENÜBER-
 GEANGS! UND HÄNGT DAVON, WO ER STATTFINDET



IDEALE / BESTMÖGLICHE
 THERM. ISOLIERTUNG

→ NACH EINSCHWINGZEIT
 HÄNDRICHT ÜBERTRIEBEN THERM.,
 MÜSEN AN DEN ENTNAHMESTELLE

→ ÜBERTRAGUNG VON KONDENSATIONS- /
 VERDAMPFT-WÄRME

BEI (T) PHASENÜBERGANGS-
 TEMPERATUR

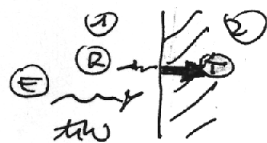
(WÄHLBAR MIT ENTSPRECH.
 CHEM. KOMPONENTE)

4 SOLARHERMISCHE KONVEKSION

4.1 PRINZIPIEN

ABSORPTION DER SOLARSTRÄHLUNG IM MÖGLICHST
GESAMTEN PHOTONENEN ENGEREGIME (IR, VIS, UV...).
FÜR THERM. KOLLISIONEN OHNE SPECTRAL-SELECTIVE
STRATEGEN \rightarrow "BANDABSTAND" DER ABSORBER $E_g \approx 0$ eV!
 \rightarrow METALLISCHE / METALL-ÄHNLICHE FESTKÖRPER

- FORMALE BECHTUNG MIT WECHSELWIRKUNG VON
EL.-MAGNET. WELLEN (PHOTONEN) MIT MATERIE (FESTKÖRPERN)
- \Rightarrow MAXWELLGEGEICHUNGEN z.B. EBENE WELLE MIT
STOCHASTISCHE STRÄHLUNG AUF DIE PHASENGRENZE (1)
LUFT/VAKUUM — FESTKÖRPER (2)



PROBLEM: MÖGLICHST HÖHER ANTEIL (1)
AN EINGECKTER LEISTUNG (AMPLITUDE-
QUADRAT X WELLENVEKTOR) IN (2)
UND MÖGLICHST OPT. GRENZENDELT
(THRESHOLD, "BANDABSTAND") $E_g \rightarrow 0$

AMPLITUDEN TRANSMISSIONSKoeffizient AN DER
PHASENGRENZE (z.B. SCHÜTTIGEINFASS)

$$t_{12} = \frac{2 \tilde{u}_1}{(\tilde{u}_1 + \tilde{u}_2)}$$

\tilde{u}_1, \tilde{u}_2 IMAGINÄRE, COMPLEX

MIT SPÄZIALFALL

n_1 FÜR LUFT/VAKUUM $n_1=1$

\rightarrow EINGECKTE STRÄHLUNGSLEISTUNG (Φ_0 ANKOMMEND)



$$\text{mit } \Phi_E = |t_{12}|^2 \cdot \tilde{u}_2 = |t_{12}|^2 \cdot n_2$$

$$n_1 = 1$$

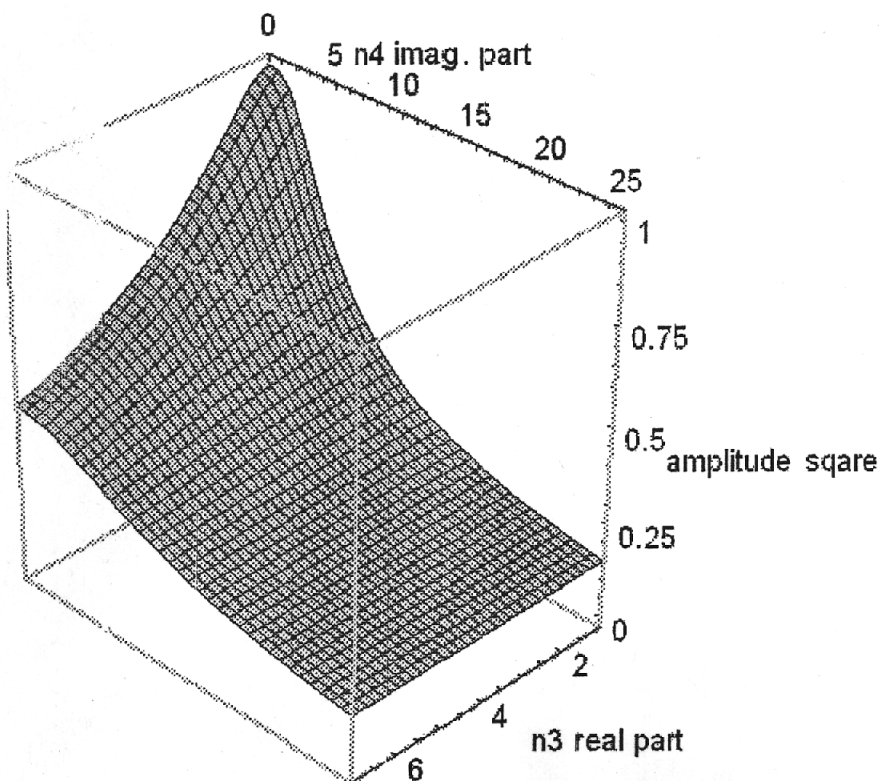
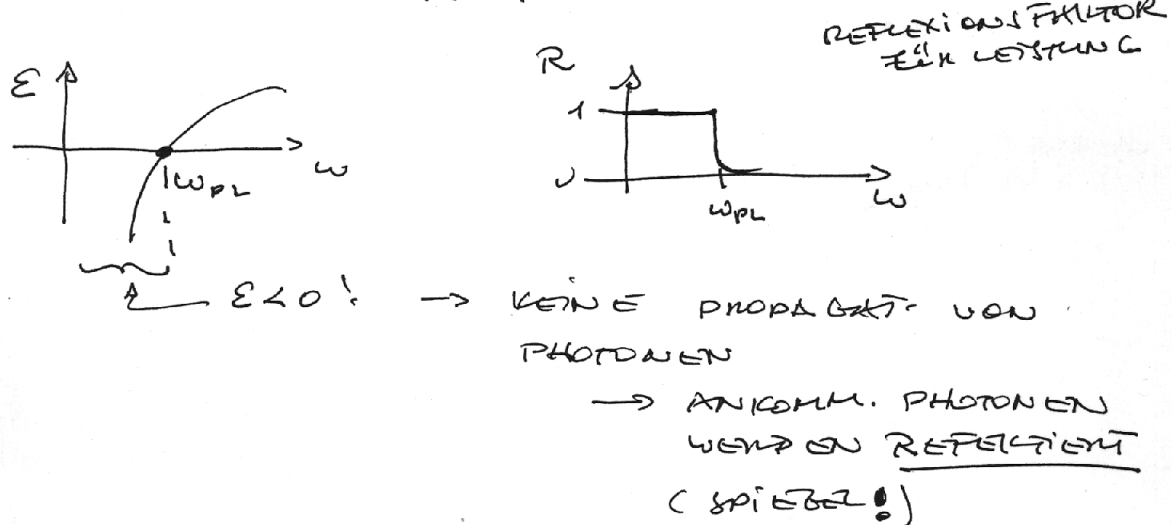
$$n_2 = \alpha + i\beta \quad \rightarrow \quad \Phi_E = \Phi_0 \cdot \left| \frac{2}{1+\alpha + i\beta} \right|^2 \cdot (1+\alpha + i\beta)$$

$$\boxed{\Phi_E = \Phi_0 \left(\frac{2}{(1+\alpha)^2 + \beta^2} \right) \sqrt{\alpha^2 + \beta^2}}$$

→ OPTIMIERUNG MACH α, β HYPOTHETISCHEN BRECHUNGSINDEX UND AMPLITUDE DÄMPFUNGSCOEF. ($2\beta = \text{ABSORPT. COEF.}$)

$\rightarrow \alpha + \beta \rightarrow 1$: $\beta \gg 1$!
ISBER KRAMERS-KRONIG RELATION
VERKÜRZT α MIT β
ZUSAMMEN $\alpha = \alpha(\omega)$
 $\beta = \beta(\omega)$

Z.B. METALLE WEGEN ABSORPTION FÜR ALLE PHOTONENENERGIE!

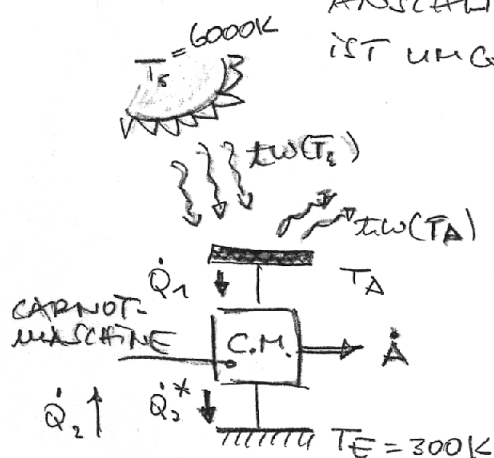


4.2 PHOTONENMASCHINE / LIMIT FÜR SOLARTEHERMISCHE WANDLUNG (MUESER-MASCHINE)

- ENERGIE TRANSFER VIA PHOTONEN
(PLANCKSCHES GESETZ
 $\epsilon \sim G \cdot T^4$)

PRINZIP:

- SOLARE PHOTONEN ABSORBIEREN
- ABSORBER MIT TEMP. T_A AN CARNOT-MASCHINE (SEIT DER HÖHENTEMPE ANSCHLISSEN; NIEDERTEMP.-RESERVOIR IST UMGEBUNG (z.B. ERDE MIT $T_E = 300K$))



$$\dot{A} = \dot{Q}_1 \cdot \eta_{\text{CARNOT}} (T_A, T_E) = \dot{Q}_1 \left(1 - \frac{T_E}{T_A}\right)$$

BILANZ DER ENERGIEFLUSS FÜR ABSORBER
(STATIONÄRER BETRIEBS)

EINGANG ZU ABSORBERN:

- VON DEN SONNE (T_s)

$$f \cdot G \cdot \epsilon_s \cdot \alpha_A \cdot T_s^4$$

f RAUMWINKEL, UNTER DEM ABSORBER DIE SONNE SIEHT

ϵ_i, α_i EMISSIONS- UND ABSORPTIONSVERHÖLLEN

- VOM WERTRAUM (UMGEBUNG) (T_u)

(1-f)

$$(1-f) \cdot G \cdot \epsilon_u \cdot \alpha_A \cdot T_u^4$$

AUSGANG VOM ABSORBER:

- ABSTRahlUNG (IN 4Π-RÄUMWINKEL)

$$1 \cdot G \cdot \epsilon_A \cdot T_A^4$$

- ENTZUG VON \dot{Q}_1 FÜR CARNOT-MASCHINE

$$\rightarrow \dot{Q}_1 = \dot{A} \left(\frac{1}{\eta_{\text{CARNOT}}} \right) = f \cdot G \cdot \epsilon_s \alpha_A T_s^4 + (1-f) \cdot G \cdot \epsilon_u \alpha_A T_u^4 - 1 \cdot G \cdot \epsilon_A T_A^4$$

MIT $\eta_{\text{CARNOT}} = \left(1 - \frac{T_E}{T_A}\right)$ UND VERNACHLÄSS. VON T_u^4 -TERM

$$\rightarrow \dot{A} = \left[1 - \frac{T_E}{T_A}\right] \cdot \left[f \cdot \epsilon_s \cdot \alpha_A \cdot T_s^4 + (1-f) \cdot \cancel{\alpha_u \cdot \alpha_A \cdot T_u^4} - \epsilon_s \cdot \overline{T_A^4}\right]$$

WEITRAUM MIT
 $(310)^4$ ODER UND
ENDE-UMLAUFUNG
MIT $(300)^4$
VERNACHLÄSS.;
EBENEN MOND-LICHT
UND STERNE!

NORMIERUNG AUF

$$f \cdot \epsilon_s \cdot \alpha_A \cdot T_s^4 = \dot{Q}_1$$

GTR WIRKUNGSZAHL DER
PHOTONEN-MASCHINE (HEITER-MASCHINE)

ZUDEM FÜR IDEAL "SCHWARZE STRÄLER /

ABSORBER"
 $\alpha_i = 1; \epsilon_i = 1$

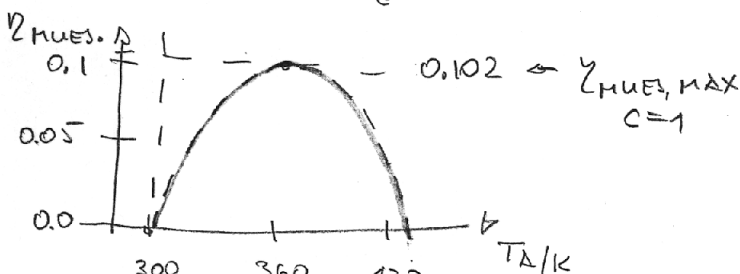
$$\gamma_{\text{HUES.}} = \left[1 + \cancel{\frac{(1-f)}{f \cdot T_s^4} \cdot T_u^4} - \frac{1}{f} \frac{T_A^4}{T_s^4}\right] \left[1 - \frac{T_E}{T_A}\right]$$

a) FÜR $f \approx 2.23 \times 10^{-5}$; SPRICHT, KÖNNE KONZENTRATION DER SOLARSTRÄHLUNG ($\approx \text{AMO} \rightarrow 13 \text{ kW/m}^2$)

WIRD

$$\gamma_{\text{HUES.}} \approx \left[1 - \frac{T_A^4}{T_s^4} \cdot \frac{1}{f}\right] \cdot \left[1 - \frac{T_E}{T_A}\right]$$

FÜR $T_s = 5700\text{K}, T_E = 300\text{K}$



T_u

IN DER METZEN ANWENDUNG $\gamma_{\text{HUES.}} > 0.102$ WER

ABSORBER HIER SPÄHL. 1444, (MIT EMISSION IN ATOM-KINER) ANGENOMMEN WURDE;

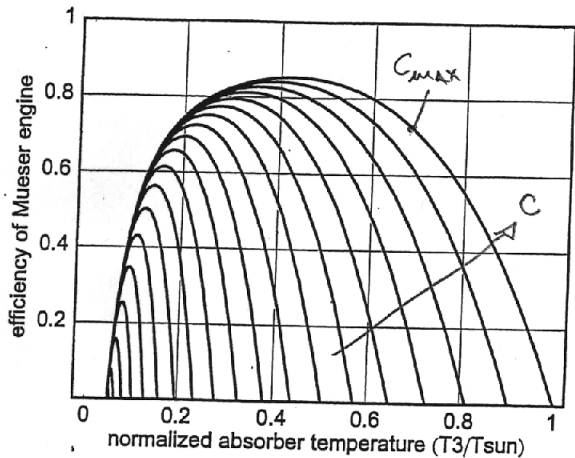
→ BESTES GEOM. DESIGN → FLACH UND MIT RÜCKSEITIGER ISOLATION FÜR EMISSION

→ QUASI-KONZENTRATIONS-FACTOR VON $C^* = 4$
(ANSTATT 4π NUR $1 \cdot \pi$)

b) SOLAR THERMISCHER KONVERTER MIT KONZENTRATION
DER SOLARSTRÄHLUNG

A-5

WIRKUNGSGRAD DER PHOTONEN-MASCHINE (MÜTTER-
 MACHINE)
NATURISTISCHE



$$\eta_{\text{MUES}}(C_{\text{MAX}}) = 0.84$$

$$T_3 = \bar{T}_A (\eta_{\text{MUES}}) = 2410 \text{ K}$$

ANALYTISCHE: aus $\eta_{\text{MUES}} = \left[1 - \left(\frac{\bar{T}_A}{T_s} \right)^4 \cdot \frac{1}{f} \right] \left[1 - \frac{T_E}{\bar{T}_A} \right]$

FOLGT FÜR

$$\frac{d\eta_{\text{MUES}}}{d\bar{T}_A} = 0!$$

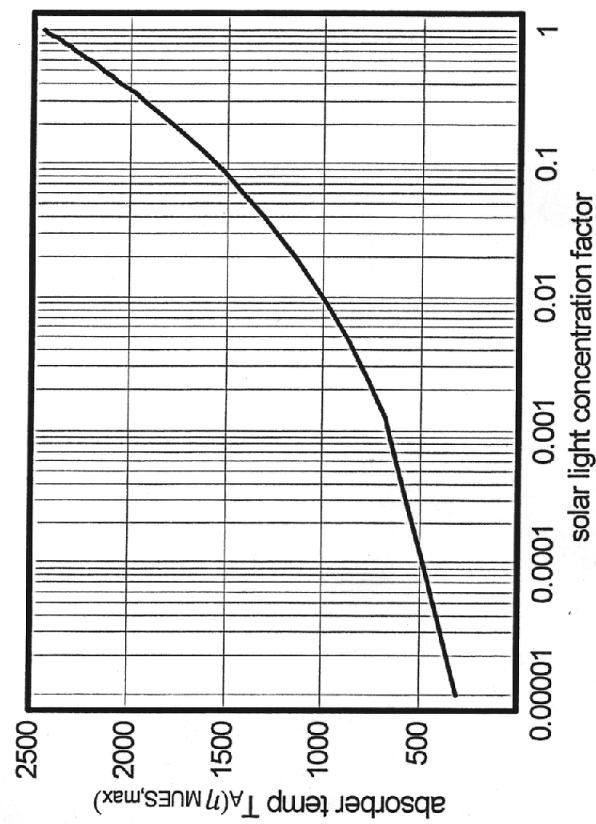
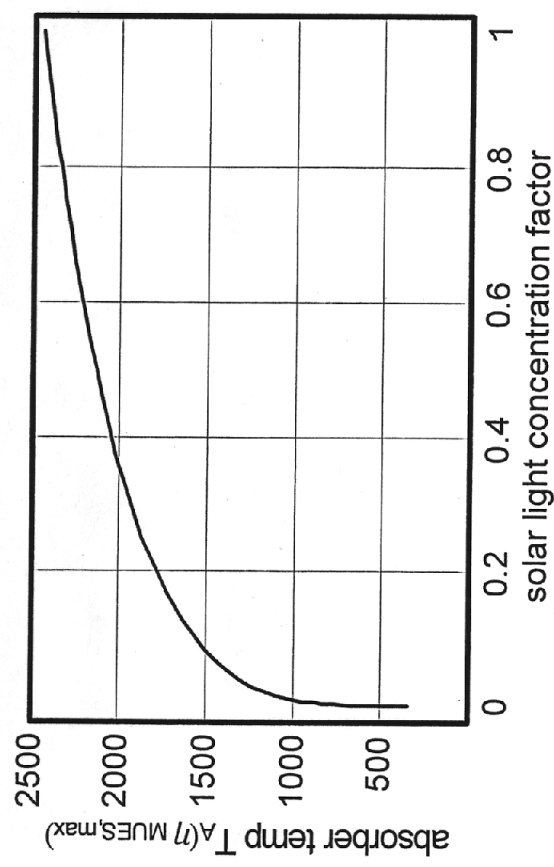
$$(1 - \frac{T_E}{\bar{T}_A}) \left(-\frac{4\bar{T}_A^3}{T_s^4} \cdot \frac{1}{f} \right) + \left(1 - \frac{\bar{T}_A^4}{T_s^4} \cdot \frac{1}{f} \right) \left(\frac{T_E}{\bar{T}_A^2} \right) = 0 \quad \text{UND DABEI}$$

:

$$-4\bar{T}_A^5 + 3\bar{T}_A^4 \cdot T_E = f \cdot T_s^4 \cdot T_E$$

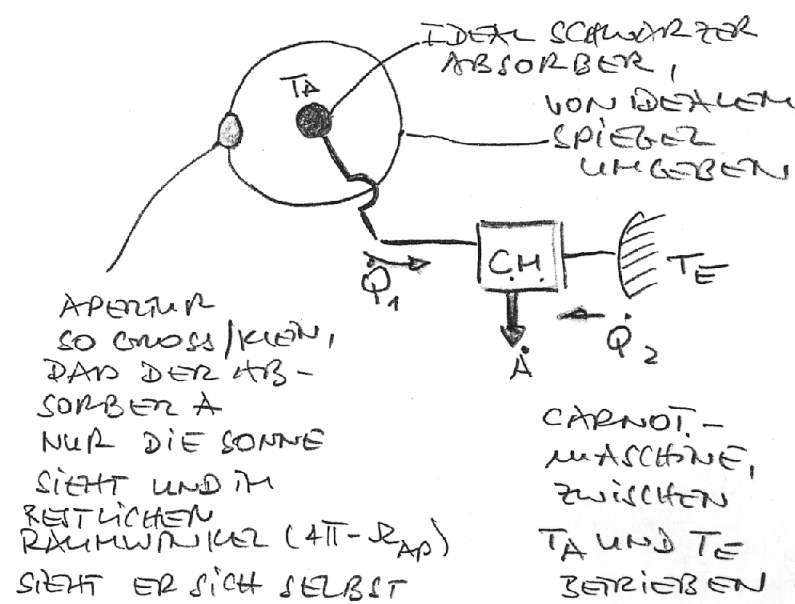
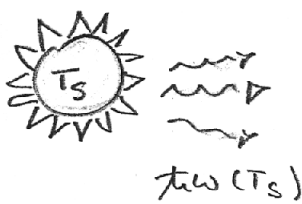
$$\leadsto \bar{T}_A = \bar{T}_A(f, \eta_{\text{MUES}}, \underset{\text{MAX}}{\eta}, T_s, T_E)$$

4-5-a)



4-6

4.3 GEOMETRISCHES DESIGN FÜR MÜNZER-MASCHINE
MIT MAX. KONZENTRATION DER SOLARSTRÄHLUNG
 (P. WÜRFER)



FÜR $\dot{Q}_1 \rightarrow 0$; ABSORBER GIBT KEINE WÄRME (NETTO)
 AB $\rightarrow T_A \rightarrow T_S \rightarrow \dot{A} = 0$!

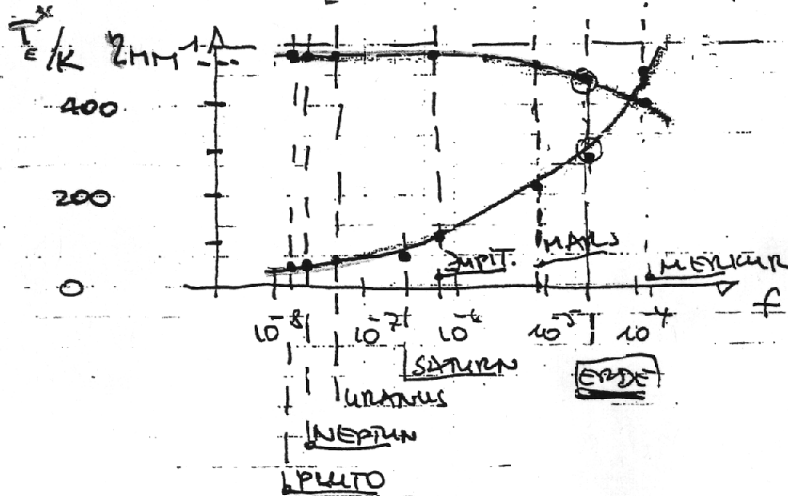
FÜR $\dot{Q}_1 \rightarrow \dot{Q}_{1,\text{MAX}} \rightarrow T_A \rightarrow T_{\text{AMIN}} \rightarrow \dot{A} = 0$ WEIL $T_C \rightarrow 0$
 $= T_E$

OPTIMALER BETRIEB (WIRKUNGSGRAD WIRD MAXIMAL)

FÜR $T_E < T_A^* < T_S$

T ABHÄNGIGKEIT DES MÜNZER-WIRKUNGSGRADES VON
 DER SOLAREN FLUSSDICHE (SPANNUNG ENTFERNUNG VON DER
 QUELLE = SONNE)

α) $T_E^* = T_E^*(d)$! und β) $n_{HM} = n_{HM}(T_2)$



τ EINSCHUB: KONZENTRATIONSAHNGEIGENHEIT DES WIRKUNGS-
GRADES

$$\text{Aus } \eta_{MM} = [1 + (\frac{\bar{T}_2}{T_S})^4 \cdot (\frac{1}{f} - 1) - (\frac{\bar{T}_3}{T_S})^4 \cdot (\frac{1}{f})] \cdot [1 - \frac{\bar{T}_2}{\bar{T}_3}]$$

\leadsto MAX WIRKUNGSGRAD \leadsto BESTIMMEN VON INTERMEDIEN
TEMPERATUR \bar{T}_3

$$\Rightarrow \frac{d\eta}{dT_3} = (-4 \cdot \frac{\bar{T}_3^3}{T_S^4} \cdot \frac{1}{f})(1 - \frac{\bar{T}_2}{\bar{T}_3}) + [1 - (\frac{\bar{T}_3}{T_S})^4 \cdot (\frac{1}{f}) + (\frac{\bar{T}_2}{T_S})^4 \cdot (\frac{1}{f} - 1)] \cdot [\frac{\bar{T}_2}{\bar{T}_3}] = 0$$

$$\leadsto -4\bar{T}_3^3 \cdot (\frac{1}{f}) (1 - \frac{\bar{T}_2}{\bar{T}_3}) + T_S^4 \cdot (\frac{\bar{T}_2}{T_3^2}) - (\frac{1}{f}) \cdot \bar{T}_3^4 \cdot \frac{\bar{T}_2}{\bar{T}_3} + \frac{\bar{T}_2^4 \cdot \bar{T}_2}{\bar{T}_3^2} (\frac{1}{f} - 1) = 0$$

$$-4\bar{T}_3^2 \cdot (\frac{1}{f}) + 4\bar{T}_3^5 \cdot \frac{\bar{T}_2}{\bar{T}_3} \cdot \frac{1}{f} + T_S^4 \cdot \frac{\bar{T}_2}{\bar{T}_3^2} - \frac{1}{f} \bar{T}_3^2 \cdot \bar{T}_2 + (\frac{1}{f}) \frac{\bar{T}_2^4 \cdot \bar{T}_2}{\bar{T}_3^2} - \frac{\bar{T}_2^4 \cdot \bar{T}_2}{\bar{T}_3^2} = 0 \quad | : \bar{T}_3$$

$$-4\bar{T}_3^5 \cdot \frac{1}{f} + 4\bar{T}_3^4 \cdot \bar{T}_2 \cdot \frac{1}{f} + T_S^4 \cdot \bar{T}_2 - \frac{1}{f} \bar{T}_2 \cdot \bar{T}_3^4 + \frac{1}{f} \cdot \bar{T}_2^4 \cdot \bar{T}_2 - \bar{T}_2^4 \cdot \bar{T}_2 = 0$$

$$\leadsto \bar{T}_3^5 (-4 \frac{1}{f}) + \bar{T}_3^4 \cdot [\frac{4\bar{T}_2}{f} - \frac{\bar{T}_2}{f}] = -T_S^4 \bar{T}_2 - \frac{\bar{T}_2^5}{f} + \bar{T}_2^5$$

$$\bar{T}_3^5 (-4) + \bar{T}_3^4 (3\bar{T}_2) = \{-T_S^4 \cdot \bar{T}_2 - \bar{T}_2^5 [\frac{1}{f} - 1]\} \cdot f$$

$$\Rightarrow \bar{T}_3^5 (-4) + \bar{T}_3^4 (3\bar{T}_2) = \bar{T}_2 \cdot [-T_S^4 \cdot f - \bar{T}_2^4 (1-f)] \quad \bar{C}_i = \frac{\bar{T}_i}{T_S}$$

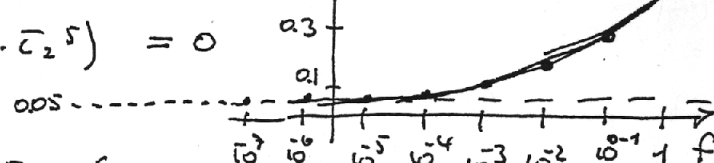
$$\frac{\bar{T}_3^5}{T_S^5} (-4) + \frac{\bar{T}_3^4}{T_S^4} \cdot (\frac{3\bar{T}_2}{T_S}) = -\frac{T_S^4 \cdot f \cdot \bar{T}_2}{T_S^4 \cdot \bar{T}_S} - \frac{\bar{T}_2^5}{T_S^5} (1-f)$$

$$\bar{C}_3^5 (-4) + \bar{C}_3^4 \cdot (3\bar{C}_2) = -f \cdot \bar{C}_2 - (1-f) \cdot \bar{C}_2^5$$

$$\bar{C}_3^* = \bar{C}_3 (\eta = \text{MAX}, \gamma)$$

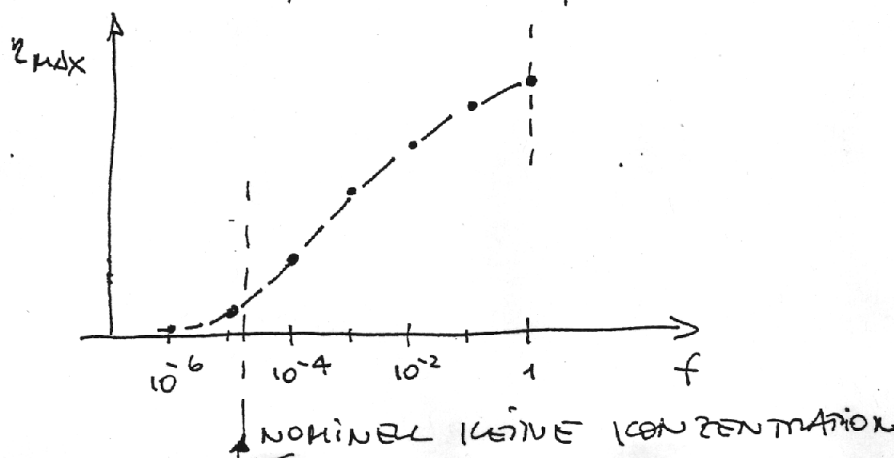
$$\pm 4 \cdot \bar{C}_3^5 + 3\bar{C}_2 \cdot \bar{C}_3^4 + f \cdot \bar{C}_2 + (1-f) \cdot \bar{C}_2^5 = 0 \quad \bar{C}_3^* \approx 0.5 \dots \dots \dots$$

$$4\bar{C}_3^5 - (3\bar{C}_2) \cdot \bar{C}_3^4 - (f \bar{C}_2 + (1-f) \cdot \bar{C}_2^5) = 0$$



$$\rightarrow \frac{f}{T_S} * \left| \begin{array}{c|c|c|c|c|c|c|c} 1 & 10^{-1} & 10^{-2} & 10^{-3} & 10^{-4} & 10^{-5} & 10^{-6} \\ \hline \bar{T}_3 [\text{K}] & 2550 & 1620 & 1194 & 683 & 456 & 342 & 242 \end{array} \right| \quad \text{für } T_S = 6000 \text{ K}$$

$$\Rightarrow \eta_{\text{MAX}} \mid 0.85 \quad 0.77 \quad 0.63 \quad 0.47 \quad 0.25 \quad 0.07 \quad 0.002 \quad \bar{T}_2 = 300 \text{ K}$$



4.4 ANWENDUNGEN SOLAR THERM. ENERGIE

a) HOCHEMP.-ABSORBER (KONZENTRATOREN)

→ KOMBINATION MIT STIRLING-MASCHINEN

→ EL. ENERGIE

b, MIDERTEMP.-ABSORBER

→ HEIZUNG (WÄRME, WFT)

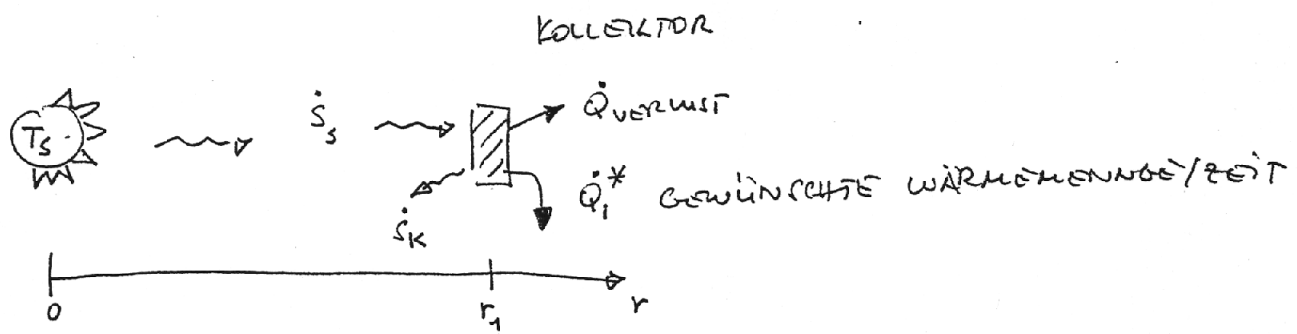
→ MELTWATERENTSÄRUNG

→ SOLARE KÜHlung

→ WÄRMEPESCHEN (SOLAR POND)

(b') PASSIVE SOLARARCHITEKTUR

c) "BILANZ" FÜR THERMISCHE SOLARKOLLEKTORANLAGE 4-8



ZUM KOLLEKTOR:

$$\underbrace{\dot{S}_s(r_0) \cdot \alpha_k(w) \cdot A_k}_{\text{SONNE AUF EMPF. FLÄCHE}} + S_o(T_0) \cdot \alpha_k^* \cdot A_k^*$$

UMGEBUNG
AUF CERT. MIT REG. FLÄCHE

VOM KOLLEKTOR:

$$= \dot{S}_k(T_k, A_k^*) + \dot{Q}_i + \dot{Q}_{VERL}$$

WÄRMELEITUNG, KONVEKTION, ...

~ ARBEIT AUS BEISPIELEWEISE CARNOT / STIRLING MACHINEN

$$w = \dot{Q}_i \cdot \eta = \dot{Q}_i \left(1 - \frac{T_0}{T_k}\right) = \left(1 - \frac{T_0}{T_k}\right) \left[\dot{S}_s \cdot \alpha_k \cdot A_k + \dot{S}_o \cdot \alpha_k^* \cdot A_k^* - \dot{S}_{k*} - \dot{Q}_{VERL} \right]$$

$$\text{mit } \dot{S}_s = \sigma \cdot \varepsilon_s \cdot T_s^4 \cdot \left(\frac{R_s}{d_{SE}}\right)^2 \cdot C$$

$$\dot{S}_o = \varepsilon_0 \cdot G \cdot T_0^4$$

$$\dot{S}_{k*} = \varepsilon_k \cdot G \cdot T_k^4$$

KLEIN | VIA SELEN
| SCHICHTEN
| EK(W)

WÜNSCHTE:
GRÖSSE VIA
KONZENTRAT.
UND $\alpha_k(w)$

KLEIN
VIA TECHNOLOGIE

$$\sim \frac{w}{\dot{S}_s} = \eta_{\text{GEAMT}} = \left[1 - \frac{T_0}{T_k}\right] \left[1 + (\dots) - (\dots) - (\dots)\right]$$

d) LOKALE TEMPERATURN

4-9

"UNTERSUCHUNG DER LOKALE BELEUCHTUNG"

~ $I_0 = I_0(x,y)$ KANN MIT STRUKTUR BICANT-BELEUCHTUNG UND LOKALE TEMPERATURVERTEILUNG BESKRIFTET WERDEN:

STRUKTUR BICANT (STATIONÄR) FÜR EIN FLÄCHEN-ELEMENT dA

$$S_0 \cdot dA \cdot d_A^{(w)} = \varepsilon_A(w) \cdot G \cdot dA \cdot \varphi \cdot T_A^4$$

AS "WIRKFLÄCHE"

$$\Rightarrow \boxed{T_A = \left[\frac{d_A}{\varepsilon_A} \cdot \frac{S_0}{G} \cdot \frac{1}{\varphi} \right]^{\frac{1}{4}}}$$

; φ FAKTOR GEAMT-FLÄCHE / BELEUCHT.-FLÄCHE
(RAUMWINKEL FÜR ABS. / ENTWIDUNG)

~ z.B. 2 BELEUCHTE:

$$S_1 \text{ AUF } A_1, S_2 \text{ AUF } A_2 \quad (\varphi = 1 \text{ GESTATT}) \\ (\varphi_i = 2; \text{ NICHT SELEKTIV})$$

2) UNABHÄNG. CARNOTMASCHINEN

$$\dot{W}_1 = \left(\frac{T_1 - T_u}{T_1} \right) \cdot S_1 \cdot A_1 \quad \text{UND} \quad \dot{W}_2 = \left(\frac{T_2 - T_u}{T_2} \right) \cdot S_2 \cdot A_2$$

$$\Rightarrow \dot{W}_1 + \dot{W}_2 = S_1 A_1 \left(1 - \frac{T_u}{(S_1/G)^{\frac{1}{4}}} \right) + S_2 A_2 \left(1 - \frac{T_u}{(S_2/G)^{\frac{1}{4}}} \right)$$

$$\dot{W}_{\text{SEP.}} = \dot{W}_1 + \dot{W}_2 = \underbrace{[S_1 A_1 + S_2 A_2]}_{S_{\text{GEJ.}}: A^*} - \left[S_1 A_1 \frac{T_u}{(S_1/G)^{\frac{1}{4}}} + S_2 A_2 \frac{T_u}{(S_2/G)^{\frac{1}{4}}} \right]$$

$$\boxed{\dot{W} = S_{\text{GEJ.}} \cdot A^* - [A_1 \cdot S_1^{\frac{3}{4}} + A_2 \cdot S_2^{\frac{3}{4}}] T_u (G)^{\frac{1}{4}}}$$

(3) "mischung" der Temperaturen / LOKATIONEN

4-10

SMÄTTUNGSPUNKT DICHTEN

$$(s_1 A_1 + s_2 A_2) \cdot \alpha = \varepsilon \cdot T_H^4 \cdot b$$

$$T_H^4 = \frac{\varepsilon}{\varepsilon_G} (S_{Ges} \Delta^*)^{\frac{1}{4}}$$

$$\leadsto \dot{w}_M = \left(1 - \frac{T_u}{T_H}\right) (S_{Ges} \Delta^*)$$

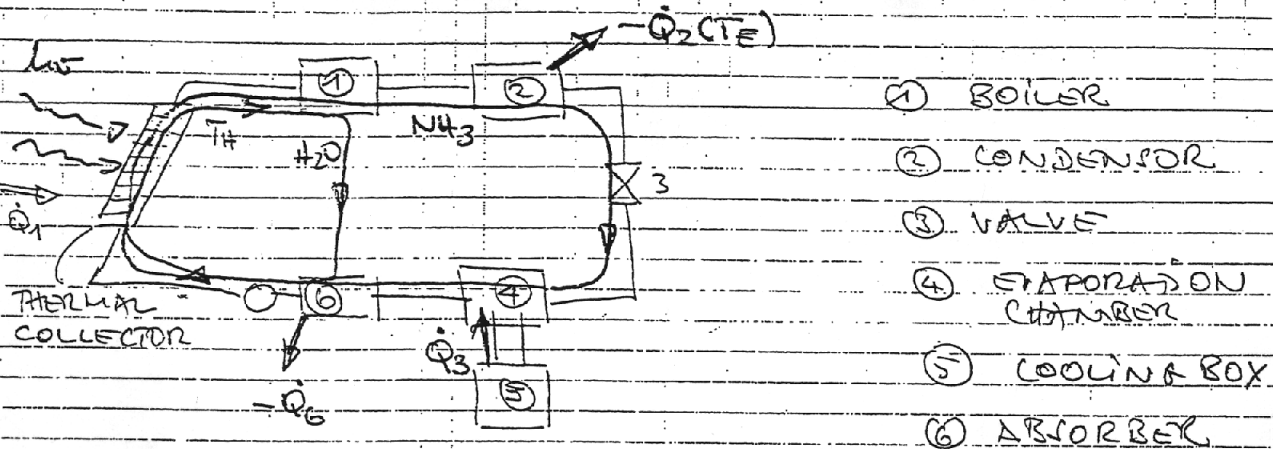
$$\boxed{\dot{w}_M = S_{Ges} \Delta^* - T_u \cdot b^{\frac{1}{4}} [s_1 A_1 + s_2 A_2]^{\frac{3}{4}}}$$

VERGLEICH: $(\alpha + \beta)^{\frac{3}{4}} > (\alpha^{\frac{3}{4}} + \beta^{\frac{3}{4}})$!

$$\leadsto \boxed{\dot{w}_M < \dot{w}_{sep}} \rightarrow \text{ENTROPIE-ERZÄHLEN}
BOTH MÜSSEN VON
"TEMP." / LOKATION
SMÄTTDICHEN$$

d) SOLAR THERMAL COOLING

4-11



Therm.
COLL: RADIATION HEATS $H_2O + NH_3$

① NH_3 EVAPORATES FROM SOLUTION

H_2O SEPARATED (LIQUID) FROM NH_3 (GASEOUS)

② NH_3 (GAS) CONDENSES AT T_E (ENVIRONMENT)

③ NH_3 (LIQUID) DROPS THROUGH VALVE-JET.

④ NH_3 "SEES" LARGE VOLUME * AND EVAPORATES

→ GETS COOLER, NEED HEAT FROM ENVIRONMENT =

⑤ FROM COOLING BOX → $T_{COOL, BOX} < T_E$!

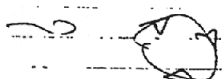
⑥ $H_2O_{LIQUID} + NH_3(GAS)$ MIXED → $(H_2O + NH_3)$ LIQUID

→ VOLUME REDUCED → PUMPING EFFECT WHICH WE
NEEDED IN ③ OUTLET AND ④

HEAT OF CONDENSATION TO ENVIRONMENT

(IF NOT T_{NH_3} ↑ → PUMPING EFFECT IS KILLED)

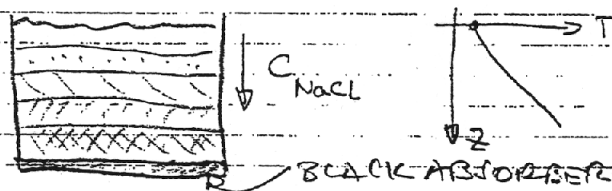
→ BACK TO COLLECTOR, FLOW IS BY TEMP. DIFF.



CYCLE FOR COOLING

e) SOLAR THERMAL STORAGE

SOLAR POND (Thermal storage)



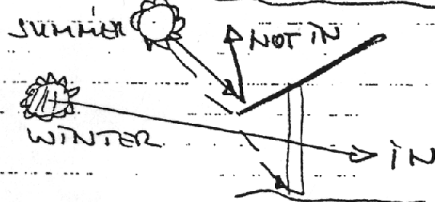
STABLE LAYERED NaCl - CONCENTRATION

$\text{grad } T \rightarrow \text{grad } \rho \leftarrow \text{SPECIFIC WEIGHT}$

HIGHER TEMP \rightarrow VOL EXPANSION
BALANCED BY HIGHER
NaCl CONCENTR.

f) SOLAR THERMAL APPLICATIONS EXCEPT DILUTED, TOWER, ETC...

PASSIVE ARCHITECTURE



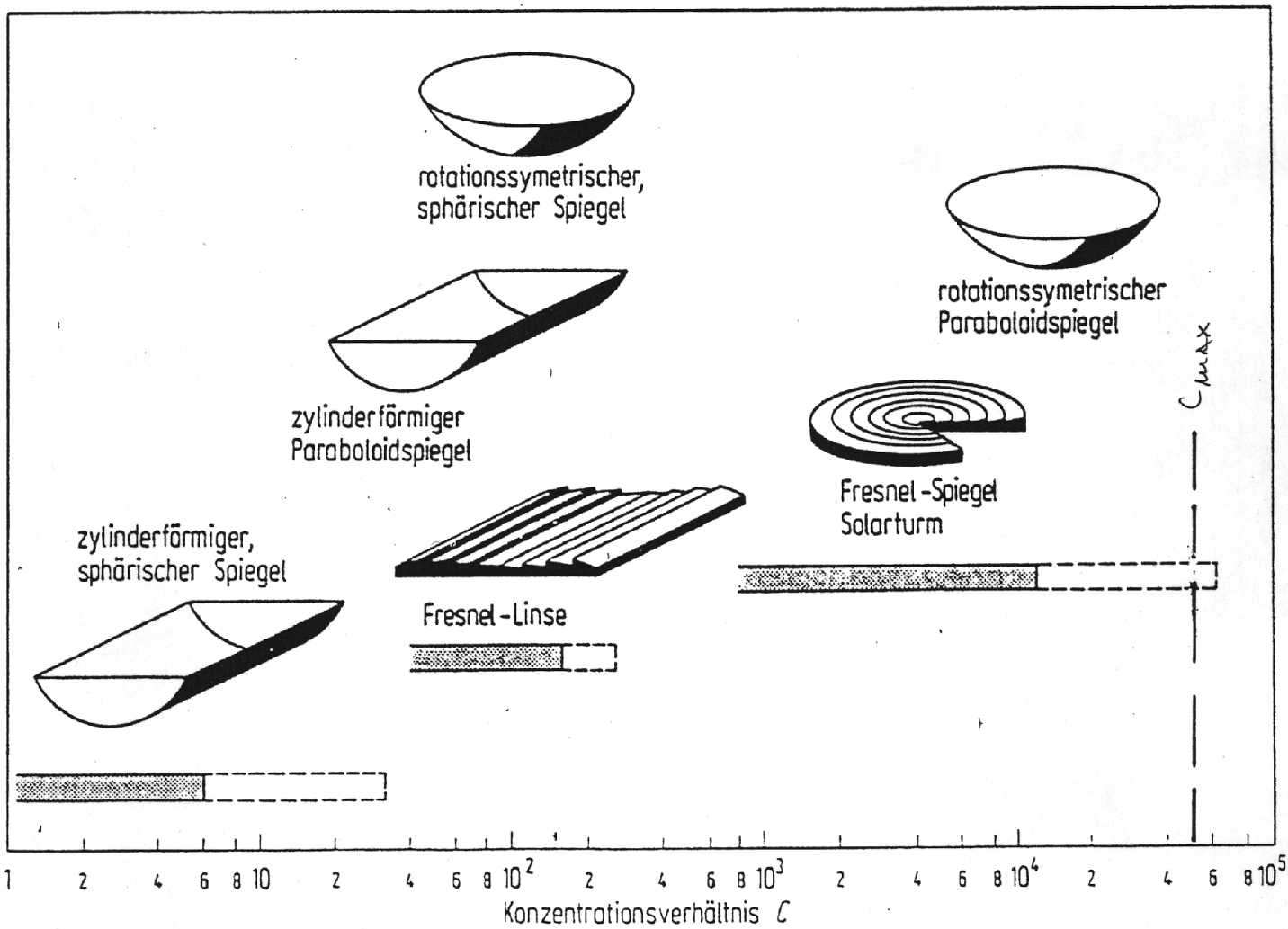
4.5 KONZEPTE ZUR KONZENTRATION

a) ABBILDENDE OPTISCHE ELEMENTE

$$C_{\text{max}} = \left(\frac{R_s}{d_{\text{SE}}} \right)^2 \approx 47000 \quad \left. \begin{array}{l} \text{für Tern.-Verhältnisse} \\ \hline \end{array} \right.$$

$$\text{und } C_{\text{max}} = \left(\frac{R_s}{d_{\text{SE}}} \right)^{-1} \approx 218 \quad \left. \begin{array}{l} \\ \hline \end{array} \right.$$

→ unterschiedl. "Aufwand" (Kosten)

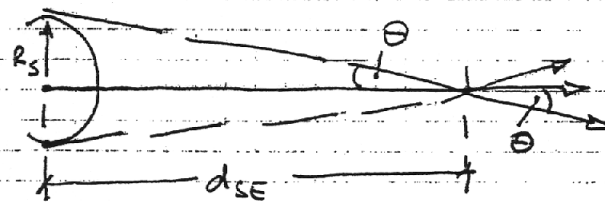


Erreichbares Konzentrationsverhältnis verschiedener Spiegel- und Linsen.

AUS "H₂ ALS ENERGIE-TRÄGER"
ED. WINTER / NITSCH,
SPRINGER, BERLIN

b) NICHT-ABBILDEN DER KONZENTRATION (Vgl. z.B. "WINTON" ...)

b1) RICHTUNGS-DISPERSION DER SOLARSTRÄHLUNG



$$\theta = \arctan\left(\frac{R_s}{d_{SE}}\right)$$

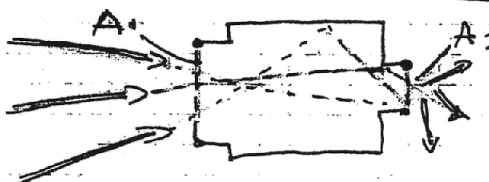
für $\theta \ll 1 \rightarrow \arctan \theta \approx \theta$

$$\text{mit } R_s = 6.9 \times 10^8 \text{ m}, d_{SE} = 1.5 \times 10^9 \text{ m}$$

$$\rightarrow \theta = 0.26^\circ$$

b2) STRÄHNLINIES KONZENTRATION FORMEL

wirksame APERTURFLÄCHEN A_1, A_2



A_1 wird modifiziert zu
 A_1^* als AKZEPPANTE APERTUR,
also die, innerhalb (inklusive
RAND LINIE) DER STRÄHLUNG
nach A_2 ausgetragen wird

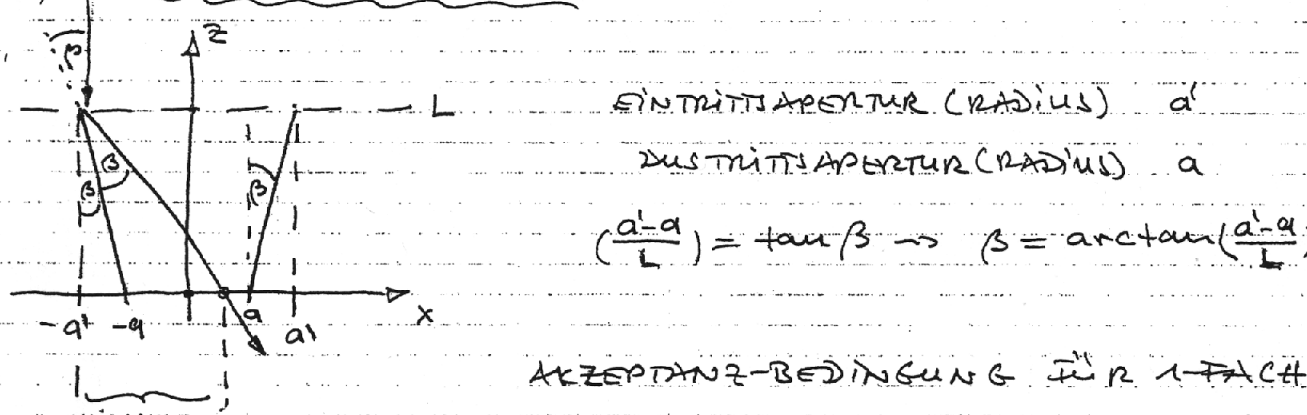
$$\rightarrow C = \frac{A_1^*}{A_2}$$

$$\text{und } C_{\max} = \left(\frac{d_{SE}}{R_s}\right)^2 = \left[\frac{1}{\tan \theta}\right]^2$$

b3) LINEARE NICHT-ABBILDENDE STRUKTUREN (ALS EINFACHTE KONZENTRATOREN)

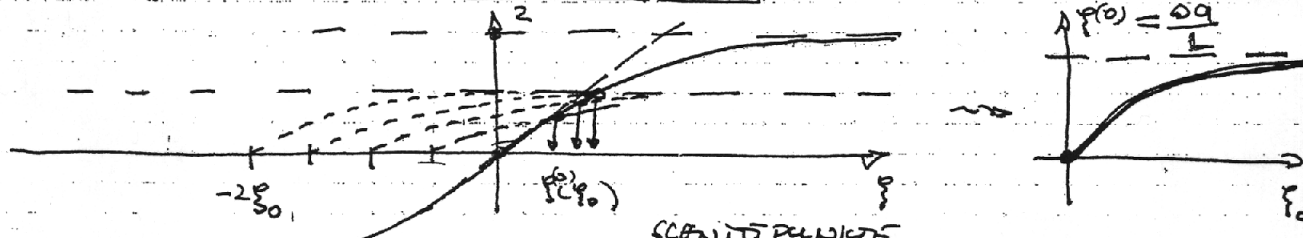
1-FACH REFLEXION

d) PARALLEL STRAHLUNG ($\theta = 0$)



$$\sim * \cdot \tan\left[2 \arctan\left(\frac{a'-a}{L}\right)\right] \leq a + a' \quad a' - a = \Delta a$$

$$\boxed{2 \arctan\left(\frac{\Delta a}{L}\right) \leq \arctan\left(\frac{2a + \Delta a}{L}\right)} \quad \text{mit } \frac{\Delta a}{L} = \frac{q}{L}; \quad \frac{q}{L} = p_0$$



SCANTYPUNKT

$$\text{GEBEN } q(0) = p^{(0)}(p_0)$$

$$\text{ASYMPTOTE BEI } \frac{1}{2} \Rightarrow p^{(0)}_{\text{ASYM}} = 0.46$$

(b) MIT LICHTUNGS-DISPERSIONSWINKEL Θ

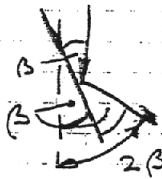
VON OBEN!

$$\rightarrow 2 \arctan\left(\frac{\Delta a}{L}\right) = 2\beta \rightarrow \text{GETZT} \rightarrow 2\beta + \Theta !$$

$$\text{Also } 2\beta + \Theta \leq \arctan\left[\frac{2a}{L} + a \tan \beta\right]$$

$$\rightarrow \boxed{\beta \leq \frac{1}{2} [\arctan\left(\frac{2a}{L} + a \tan \beta\right) - \Theta]}$$

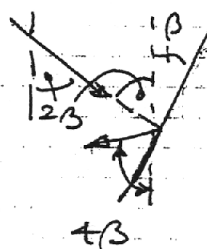
WEITERE FÄLLE REFLEXION



a) Für den konstr. einfallenden Strahlung

→ z.B. nach 1. Reflexion gegen seit.

DIE ursprüngliche Propagationsrichtung



MACH 2. REFLEXION MIT 3β AUF SPIEGELFLÄCHE

MIT 3β VON SPIEGELFLÄCHE, DIE JA

Mit β GEGEN PROPAGAT. RICHTUNG VOR

DER LUW MIT KONZENTRATOR GENERIERT AT.

→ 4β ZUR SENKRECHTEN DER ÖFFN. APERTUR.

3. REFLEXION ANALOG WEITER 4β + β ZU DEN

SPIEGEL ALS EINFAHRS- UND AUSFAHRS RICHTUNG

+ 1.β WEGEN SPIEGELNEIGUNG → 6β

≈ n REFLEXIONEN "BEGEN AUSBLITZRICHT."

IM KONZENTRATOR WIRD ZU β GEGEN SENKRECHTE

→ MAX. FAHR DER REFLEXIONEN, DABEI
NICHT RÜCKWÄRTS PROPAGIERT WIRD



$$2n \cdot \beta < 90^\circ \text{ ODER NUR}$$

$$n < \frac{90^\circ}{2\beta} \text{ ZUR KONZ. VERWEND. BEREICH}$$

b) Für Richtungsdispersion mit θ

MACH 1. REPL. (2β + θ)

MACH 2. REPL. 2(2β + θ)

FÜR n-TE REFLEXION $n(2\beta + \theta)$

UND FAHR DER MAX. KETZ. VOR UMGEHTS

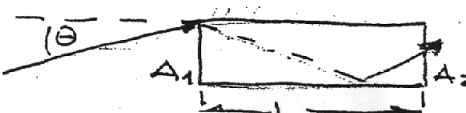
$$n(2\beta + \theta) < 90^\circ$$

b) Konzentration für β = 0?

WEGEN θ > 0 → NICHT? A_1, A_2 WIRKEN! ANDERU ALS

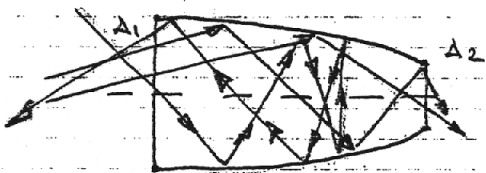
Die geom. Aperturflächen
WESEN θ > 0 → ETENDUE!

EINHALTEN



\hookrightarrow NICHTLINEARE "BERANDUNGS LINEN"

(Z.B. COMPOUND PARABOLIC CONCENTRATOR)



RANDSTRAHLENPRINZIP: FÜR JEDEN WINKEL γ EX
ISTE BERANDUNGS LINIE, DIE DIE "AKZEPTANZ" WERDEN
SPIEGELT;

LATZ ALLE STRAHLEN AU_F UND INNERHALB DIETER
RANDSTRAHLEN - BERANDUNGS LINIE WERDEN AKZEPTIERT (DURCH
A2 ANGEKOPPELT), SO DASS ES GENÜGT,
DIE STRAHLEN (RANDSTRAHLEN) ZU ANAL-
YSIEREN (ALLE INNERHALB DIETER DURCH
RANDSTRAHLEN FESTGELEGTE LINIE WERDEN
SOWIE SO MACH A2 ANGEKOPPELT / KONZENTRI-

5. MAGNETOHYDRODYNAMIK (MHD)

5.1 PHÄNOMENOLOGISCHE

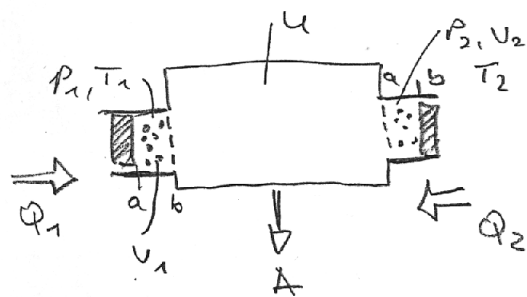
EXTRAKTION DER KINETISCHEN ENERGIE EINES STÖHENDEN, ELECTRISCH LEITFÄHIGEN MEDIUMS, DURCH SYMMETRIE-BRECHUNG VIA TEILCHENABLENDUNG IN MAGNETFELDEN

→ LORENZ-KRAFT

$$\vec{F}_{\text{LOR}} = z \cdot e \cdot (\vec{v} \times \vec{B})$$

↑
ZAHL DER ELEMENTAR-
LADUNGEN

→ MHD-EFFEKT MIT OFFENEM THERMODYN. SYSTEM
zu Beschreiben



VORGABE

$P_1 = \text{CONST.}$

(TEILCHEN IN V_1 ZWISCHEN U_1 UND "0") BEI T_1 UND P_1
DEM SYSTEM "ZU ZÜHN" ANT

$P_2 = \text{CONST.}$

ANALOG

→ TEILCHEN

ZWISCHEN $V_2 = 0$ UND V_2

BEI T_2, P_2 AUF SYSTEM
BRINGEN

INNERE ENERGIE

$U = \text{CONST.} \rightarrow dU = 0$

MIT 1. HAUPTSATZ

$\int dQ = dU + p dV$ UND WESEN

$$Q_1 + Q_2 = A = U_1 + \int_{V_1}^{V_2} p_1 dV - U_2 - \int_{V_2}^{V_1} p_2 dV$$

$$\rightarrow A = (U_1 + p_1 V_1) - (U_2 + p_2 V_2)$$

$$\boxed{A = H_1 - H_2}$$

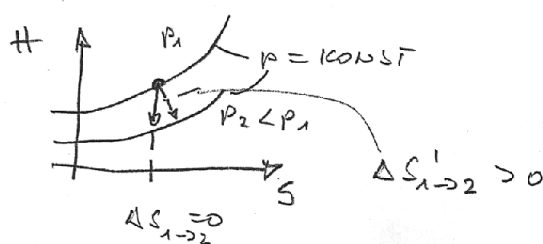
$$\begin{aligned} & V_2 \\ & \underbrace{\quad}_{0} \quad + \int_{V_2}^{V_1} p_2 dV \\ & V_1 \end{aligned}$$

ENTHALPIE-DIFFERENZ

(VGL. POT.-FUNKTIONEN UND)

→ DIAGRAMM ($H = H(S)$)
(MOLIER-DIAGRAMM)

LEGENDRE-TRANSFORMATION,
KAP. 1)



T EINSCHUB zu H-S-DIAGRAMM MIT $p = \text{konst.}$

aus

$$H = U + pV \quad \text{FOLGT} \quad dH = dU + d(p \cdot V)$$

$$dH = nC_V dT + p dV + V dp = 0$$

$$(Vdp) + n \cdot R dT \quad (\text{dav } \Rightarrow \text{GAS})$$

$$\boxed{dH = n(C_V + R)dT}$$

$$\text{mit 1. H.S. } T dS = \cancel{(p dV + nC_V dT)} \quad (\text{wegen } dp=0)$$

$$= n(R + C_V) dT = n \cdot C_p dT$$

FOLGT

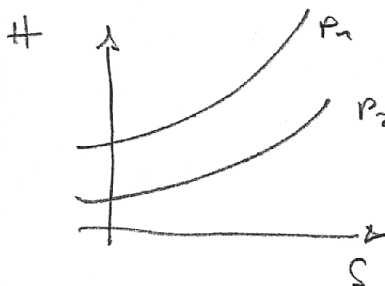
$$dS = \frac{1}{T} \cdot n(C_V + R) dT \quad \text{UND} \quad \text{daraus}$$

$$T = \exp\left(\frac{S}{n \cdot C_p}\right) \cdot \text{CONST.} \quad ; \quad \text{DAMIT}$$

$$dT = \text{CONST.} \left(\frac{1}{n \cdot C_p} \right) \cdot \exp\left(\frac{S}{n \cdot C_p}\right) \cdot dS \quad \text{UND}$$

$$dH = n \cdot C_p \cdot \text{CONST.} \cdot \frac{1}{n \cdot C_p} \cdot \exp\left(\frac{S}{n \cdot C_p}\right) + \text{CONST}'$$

$$\rightarrow H \sim C \cdot \exp\left(\frac{S}{n \cdot C_p}\right) + \text{CONST}'$$



für vollständig reversible Schritte gilt

$$\gamma = \frac{\Delta}{Q_1} = \frac{H_2 - H_1}{H_1} = \frac{u_1 + p_1 V_1 - (u_2 + p_2 V_2)}{(u_1 + p_1 V_1)}$$

für ideales Gas $u = n \cdot e \cdot T$; $pV = u \cdot RT$ und daraus

$$\gamma = \frac{T_1(nC + n \cdot R) - T_2(nC + n \cdot R)}{T_1(nC + n \cdot R)} = \frac{T_1 - T_2}{T_1} = 1 - \frac{T_2}{T_1}$$

$(T_2 < T_1)$

CARNOT-WIRKUNGS-GRAD

5.2 FORMALE BESKRIBUNG VON MAGNETOHYDRODYNAMICISCHEN VORGÄNGEN

a) KONTINUITÄTSGLICHUNG FÜR MÄRSEN

$$\left| \frac{\partial \rho}{\partial t} + \operatorname{div}(\rho \cdot \vec{v}) \right| = 0$$

ρ -MÄRSE pro VOLUMEN

b) FÜR ELTELM. LADUNGEN

$$\left| \frac{\partial p}{\partial t} + \operatorname{div}(p \cdot \vec{v}) \right| = \sum_i Q_i - \sum_i S_i$$

↑
QUELEN
↓
SENKEN

p -RADIATION

(IONISATION) (REKOMBINATION)

TEILCHENSTOMODICHE

c) FÜR WÄRME MÄRGEN

$$\left| \frac{\partial q}{\partial t} + \operatorname{div}(q \cdot \vec{v}) \right| = \bar{j} \cdot \vec{E} - \underbrace{S + R}_{\substack{\text{OHMSCHE VERLUSTE} \\ \text{STRÄHLUNG}}} \quad \text{MECH. REIBUNG}$$

d) BEWEGUNGSGLICHUNG

MIT ÖRTLICH-ZEITLICHER ÄNDERUNG DER TEILCHEN-GESCHWINDIGKEIT

$$\frac{d\vec{v}}{dt} = \frac{\partial \vec{v}}{\partial t} + \vec{v} \operatorname{grad} \frac{\vec{v}}{x} \quad \text{GIBT}$$

DRECK

$$\left| \rho \left[\frac{\partial \vec{v}}{\partial t} + (\vec{v} \operatorname{grad}) \vec{v} \right] = - \operatorname{grad} p + \sum_i f_i \right|$$

SUMME DER AUSGEWICHENEN KRÄFTE

BEGRIEFSERKLÄRUNGEN

MODIFIKATIONEN W.G.
VERÖFFENTLICHUNGSN
(STATIONÄRITÄT $\frac{\partial}{\partial t} = 0$
1-DIMENSIONAL)

KONTINUITÄT. ZUR AUFSTOHN:

$$\frac{\partial \bar{v}}{\partial t} + \operatorname{div}(\bar{v} \cdot \bar{v}) = 0 \quad \text{④}$$

$$\boxed{\frac{\partial}{\partial x} (\bar{v} \cdot v_x) = 0} \quad \text{(2a)}$$

BETRÜGUNGSERICHTUNG:

$$\frac{\partial \bar{v}}{\partial t} + (\bar{v} \text{ grad } \bar{v}) = - \operatorname{grad} p + \sum f_i \quad \text{②}$$

$$\frac{\partial \bar{v}_x}{\partial t} + \bar{v}_y \cdot \frac{\partial \bar{v}_x}{\partial x} = - \frac{\partial p}{\partial x} + \sum f_i \quad \text{(2a)}$$

ENERGIEERHÄRTUNG:

$$\frac{\partial}{\partial t} (q \cdot \bar{v}) + \operatorname{div}(q \cdot \bar{v}) = \bar{v} \cdot \bar{E} - s + R \quad \text{③}$$

$$\frac{\partial}{\partial t} (q \cdot \bar{v}) + \overbrace{\left[\bar{v} \cdot \bar{v}_x \cdot \frac{\partial q}{\partial x} + q \cdot \frac{\partial (\bar{v} \cdot \bar{v}_x)}{\partial x} \right]}^{\substack{s=0, n=0 \\ \Rightarrow \text{WESEN } (2a)}} = \bar{v} \cdot \bar{E}_x \quad \text{(3a)}$$

q - VOLUMENSTROßENÉ WÄRMESTROM:

$$n \in T \quad \delta Q = dU + p dV \quad \text{(1.H.S.)}$$

WEITER

$$n \in T \quad \delta U = dH - pdV - Vdp + pdV$$

$$\text{UND} \quad dU = dH - pdV - Vdp + pdV$$

$$\begin{aligned} \delta Q &= dH - Vdp \quad \text{Nicht von HOMOGENITÄT} \\ \delta Q &= dH - Vdp \end{aligned}$$

$$\begin{aligned} \delta Q &= dH - \frac{Vdp}{V} \cdot V \\ \delta Q &= H - \int \frac{1}{V} dp \end{aligned}$$

"ZERSETZLICH"

INTEGRATION W.E.P.

$$\bar{v} \cdot v_x = \text{const.}$$

$$\rightarrow \bar{v} \cdot v_x \cdot A = \text{const.}$$

FÜR DIETR

DURCHSETZLICH

$$\bar{v} \cdot v_x \cdot \frac{d v_x}{d x} = - \frac{d p}{d x} \rightarrow \int v_x dv_x = - dp$$

$$\rightarrow \int \frac{v_x^2}{2} + p = \text{const.}$$

(BENOMMEL: !)

$$\boxed{\int v_x \left(\frac{d v_x}{d x} + \int \frac{1}{p} dp \right) = \frac{1}{2} v_x^2 + p} \quad \text{(3b)}$$

MIT (2a), SPRECHT

$$-\frac{d p}{d x} = \int v_x \cdot \frac{d v_x}{d x} - \int f_i$$

WIRTS (3b)

$$\int v_x \left[\frac{d}{d x} (H + \int \frac{1}{p} f_i dx) - \int \frac{1}{p} f_i dx \right] = \bar{v} \cdot \bar{E}_x$$

$$\text{UND} \quad \boxed{\int v_x \left[\frac{d}{d x} \left(H + \frac{v_x^2}{2} \right) \right] = \bar{v} \cdot \bar{E}_x + \frac{1}{2} \int f_i \cdot \bar{v} \cdot v_x}$$

aus ③c wird mit $\sum f_i = -j_x B_z$ (LORENTZ-TERM)

5-5

$$\boxed{f \cdot v_x \cdot \frac{d}{dx} \left[\mu + \frac{v_x^2}{2} \right] = j_x (\bar{E}_x - v_x \cdot B_z)}$$

→ LOKALÄÄNDERUNG DER SPZIF. ENTHALPIE (μ)
UND DER GECHWIND. DES STRÖM. MEDIUMS
(IN FORM VON v^2 , ALSO DER KINET. ENERGIE)

ERGIBT ERATRISCHE AUSGANGSLÖSTUNG
FÜR $\frac{d}{dx} \left(\mu + \frac{v_x^2}{2} \right) < 0$ GENERATOR

$$N_{\text{el}} = \frac{N_{\text{el}}}{V_{\text{OL}}}$$

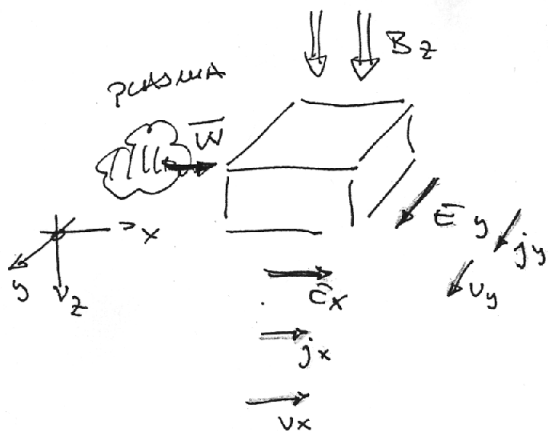
$$[j_x (\bar{E}_x - v_x \cdot B_z)] < 0 \quad u_{\text{el}} = j(v_x \cdot B_z - \bar{E}_x)$$

BESCHLEUNIGER (PLASMA)

$$[j_x (\bar{E}_x - v_x \cdot B_z)] > 0$$

5.3 ELEKTRISCHES VERHALTEN DES MHD-GENERATORS

5-6



$$\text{MAGNETFELD} \\ \vec{B} = [0, 0; B_z]$$

STRÖMUNG DES GASSTRASSENS
MIT GECKHIND. $\bar{w} = [w_x; 0; 0]$
(IST JEDOCH VORHANDEN)
ZU SÄTTIGUNG NORTH
STRÖMUNGSANTEILE
 $\bar{v} = [v_x; v_y; 0]$
DURCH EL. FELDER

\Rightarrow DIAMETRISCHE STRÖMDICHTEN IN KOMPONENTEN

$$j_x = G \cdot \bar{E}_x + G \cdot v_y \cdot B_z + w_x \underbrace{(u_{\oplus} \cdot q_{\oplus} - u_{\ominus} \cdot q_{\ominus})}_{=0}$$

$$j_y = G \cdot \bar{E}_y - G \cdot w_x \cdot B_z - G \cdot v_x \cdot B_z$$

LAUFGANGSNEUTRAL,
POS. UND NEG. ANTEILE
DER RÄUMLICHEN
KOMPLEXITÄTEN SIEHT

FÜR STRÖMDICHTE AUSGEHEN GILT $j = j_x + j_y$

UND $G = n \cdot b \cdot e$

\uparrow
BEGEGLICHKEIT

KONZENTRATION DER
LÖSUNGEN, DIE ZUM TRANS-
PORT BEITRÄGT

$$\approx \bar{v} = \frac{j}{n \cdot e}$$

\rightarrow DAMIT WENDEN j_x UND j_y

$$j_x = G \cdot \bar{E}_x + G \frac{j_y}{n \cdot e} \cdot B_z = G \cdot \bar{E}_x + \frac{n \cdot b \cdot e}{n \cdot e} \cdot j_y \cdot B_z$$

$$j_x = G \cdot \bar{E}_x + j_y \cdot b \cdot B_z \quad \text{UND}$$

$$j_y = G(\bar{E}_y - w_x B_z) - \frac{G \cdot j_x}{n \cdot e} \cdot B_z \quad \text{ODER}$$

$$j_y = G(\bar{E}_y - w_x B_z) - j_x b \cdot B_z$$

$$\text{ABSTÜRMUNG} \quad b \cdot B_z = \beta \quad \Rightarrow$$

*1 VGR. ENTSCHERB ZUR GRÖSSE β

via

$$j_x = \dots + \beta \cdot j_y$$

$$j_y = \dots - j_x \cdot \beta$$

$$j_x = G \cdot \bar{E}_x + \beta \cdot G (\bar{E}_y - w_x B_z) - \beta^2 j_x \quad \text{und}$$

$$\boxed{j_x = \left(\frac{G}{1+\beta^2} \right) [\bar{E}_x + \beta (\bar{E}_y - w_x B_z)]}$$

$$j_y = G (\bar{E}_y - w_x B_z) - \beta \cdot G \cdot \bar{E}_x - \beta^2 j_y$$

$$\boxed{j_y = \left(\frac{G}{1+\beta^2} \right) [(\bar{E}_y - w_x B_z) - \beta \cdot \bar{E}_x]}$$

IN BEIDEN KOMPONENTEN DER STROMDICHTE (j_x, j_y)

STREICHEN ($\bar{E}_y - w_x B_z$) AUS PARM., DER DIE VON AUSEN EINGEPÄGTE GAS-/PLASMA GECHW. ENTITÄT (w_x) UND DIE AUS DEM MAGNETFELD WIRKUNG ERGEBTE Z. PERIODÄRKE IN Y-RICHTUNG (AUS DER LADUNGS-PRÄZISIONSMENNUNG Θ IN MAGNETFELD)

$$\frac{\bar{E}_y}{w_x B_z} = k \quad (\text{LASTFAKTO}R) \quad \text{mit} \quad 0 \leq k \leq 1,$$

WOBEI $k=1$ WENN $\bar{E}_y - w_x B_z = 0$; j_x UND j_y NUR AUS

\bar{E}_x, \bar{E}_y UND G
 \rightarrow MAX. SPANNUNG
 AUS MHD-EFFEK-

\rightarrow LEERLAUF

$k=0 \rightarrow \bar{E}_y = 0 \rightarrow$ KURZSCHLUSS MIT
 MAX. STROMDICHTE
 $j_y = \text{MAX}$

"UMSCHREIBEN" DER STROMDICHTEN MIT TERM "k"

$$j_x = \left(\frac{G}{1+\beta^2} \right) [\bar{E}_x + \beta(k-1) w_x B_z]$$

$$j_y = \left(\frac{G}{1+\beta^2} \right) [(k-1) w_x B_z - \beta \cdot \bar{E}_x]$$

Γ EINSCHÜB ZUR GRÖSSE $w \cdot B = \beta$

"STREUUNG VON LADUNGSSTÄRAHMEN IN DER GASPHASE"

MITTLENE DRIFTGESCHWIND. v_D MIT

$$v_D = a \cdot \tau$$

a - BEGÄTIGUNG

τ ZEIT zwischen zwei STREUERFÄLLEN

$$\rightarrow \bar{v}_D = \frac{e \cdot \bar{E}}{m} \cdot \tau = \frac{e \cdot \bar{E}}{m} \cdot \frac{\lambda}{v_{TH}} \leftarrow \text{MITL. FREIE WEGLÄNGE}$$

MITL. THET. GESENDSCHAFT.

$$\Rightarrow \bar{E} \cdot b = \bar{v}_D \quad \therefore b - \text{BEGÄTIGUNG}$$

$$b = \frac{e \cdot \bar{E}}{m} \cdot \frac{\lambda}{v_{TH}}$$

IN MAGNETFELD

$$B \cdot b = \left(\frac{e \cdot \bar{E}}{m} \cdot \frac{\lambda}{v_{TH}} \right) \cdot B$$

$$\text{MIT } |\vec{F}_{\text{LÖHNER}}| = e \cdot v \cdot |\vec{B}|$$

$$\text{FOLGT } F_{\text{LÖHNER}} = \frac{mv^2}{r}$$

UND DAMIT

$$\frac{B \cdot e}{m} = \frac{v^2}{v \cdot r} = \frac{v}{r} = \frac{2\pi v}{2\pi r} = \frac{2\pi}{\text{TURNUF}} = \omega \text{ ZYKLUSM.}$$

$$\Rightarrow B \cdot b = \omega \cdot \frac{\lambda}{v_{TH}} = \beta = \omega \cdot \tau = 2\pi \cdot \frac{\tau}{\text{TURNUF}}$$

$B \ll 1 \rightarrow \tau \ll \text{TURNUF}$ (HÄLTIGE STREUUNG)

(SMEUERER \Rightarrow STOßBESTIMMTE VERHALTEN)

$\beta > 1 \rightarrow \tau > \text{TURNUF}$ (LADUNGEN GYRIEREN



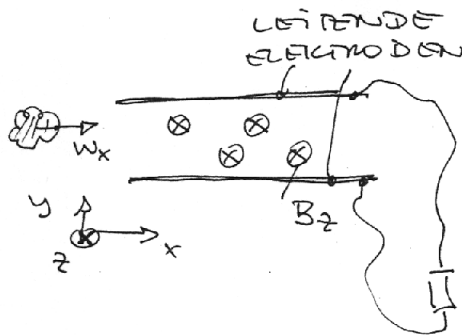
ÖFT BEVOR

STREUUNG AUFTRITT

\rightarrow MAGNETFELD-BESTIMMTE VERHALTEN

5.4. MHD-KONZEPTE

a) LINEARER FARADAY-GENERATOR



$\rightarrow E_x = 0$ UND STROMDichten ERGEBEN FOLGLICH

$$j_x = \frac{6}{(1+\beta^2)} [\beta(K-1) \cdot w_x \cdot B_z]$$

$$j_y = \frac{6}{(1+\beta^2)} [(K-1) w_x \cdot B_z]$$

$$\left(\text{Hier wiederum } K = \frac{E_y}{w_x \cdot B_z}\right)$$

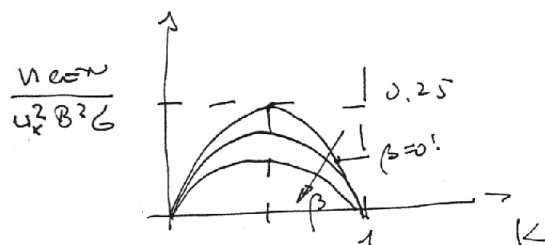
UND DAMIT WIRD AUSGANGSLEISTUNGSDICHTE (BETRACHTEL.)

$$n_{\text{gen}} = \underbrace{j_y \cdot E_y}_{\text{GENERATOR-}} = \left(\frac{6}{1+\beta^2} \right) (K-1) \cdot w_x \cdot B_z \cdot E_y \quad \text{UND MIT} \\ E_y = K \cdot w_x \cdot B_z \quad \text{WIRD}$$

$$\boxed{n_{\text{gen}} = \left(\frac{6}{1+\beta^2} \right) \cdot K(K-1) \cdot w_x^2 \cdot B_z^2} \quad \rightarrow \text{OPTIMALER BETRIEBS} \\ \text{FÜR } K = \frac{1}{2}$$

FÜR $\beta = 10 \cdot B$ FOLGT

$$\frac{n_{\text{gen}}}{w_x^2 B_z^2} = \frac{K(K-1)}{1+\beta^2}$$



n_{gen} NUR SCHWACK VON B ABHÄNG.
 n_{gen} GROSS FÜR $K \ll 1$.
→ STOSSBESTIMMTES VERHALTEN

IN DEN FORMALEN BECHTRICHTUNG

$$(E_y - w_x \cdot B_z) \sim (E_1 \cdot E_y - (E_1 \cdot w_x \cdot B_z)) \leftarrow \begin{array}{l} \text{GRÄTZE DIT MIT DIE} \\ \text{BELEGADENEN TEILCHEN} \end{array}$$

WIRKEN
→ EL. FELD ABSÄTZLICH
LORENTZ-KRAFT

d) $(E_y - w_x \cdot B_z) = 0 \rightarrow \underline{\text{KOSINE!}}$

(ADUNGBEMERKUNG
(LEERLAUF) UND $K=1$)

$$\hookrightarrow j_x = 0 \text{ UND } j_y = 0$$

b) $(E_y - w_x \cdot B_z) = -w_x \cdot B_z$, ALSO

$$E_y = 0 \rightarrow K = 0; \underline{\text{KUNZSCHUTZ}}$$

DANN IST

$$j_x = \frac{6}{1+\beta^2} (-\beta w_x \cdot B_z); \quad j_y = \frac{6}{1+\beta^2} (-w_x \cdot B_z)$$

der LASTFAKTOR $K \sim \underline{\text{BREMSEKRAFT}}! f_x$

(die pro Volumenelement wirkt)

$$f_x = -j_y \cdot B_z = \left(\frac{G}{1+\beta^2}\right)(1-K) \cdot w_x \cdot B_z^2$$

\hookrightarrow Bremseleistung

$$n_{\text{BREMSE}} = \overline{f} \cdot \overline{v}$$

$$= -j_y \cdot w_x \cdot B_z$$

$$n_{\text{BREMSE}} = \left(\frac{G}{1+\beta^2}\right)(1-K) w_x^2 \cdot B_z^2$$

$K=0 \rightarrow$ GÖLTZ
BREMSE-
WIRKUNG
(für $w_x^2 = 0$)

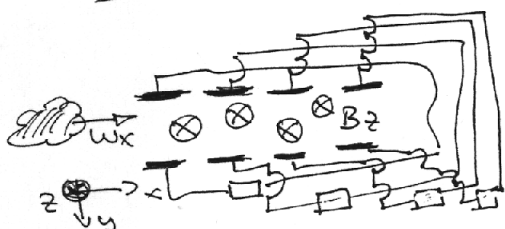
und nun durch DÄMSELLE BEMER

$$\frac{m_{\text{GEN}}}{n_{\text{BREMSE}}} = \frac{\left(\frac{G}{1+\beta^2}\right) K (1-K) w_x^2 \cdot B_z^2}{\left(\frac{G}{1+\beta^2}\right) (1-K) w_x^2 \cdot B_z^2} = K$$

mit $K \in [0, 1]$
GENERATOR

$K \in [-1, 0]$
PLASMA BECHLEU-
NIGER

lo) SEGMENTIERTER FARADAY-GENERATOR



$$\text{Hier } j_x = 0 \rightsquigarrow \left(\frac{G}{1+\beta^2}\right)(E_x + \beta(K-1)w_x \cdot B_z) = 0$$

$$\rightsquigarrow E_x = -\beta(K-1) \cdot w_x \cdot B_z$$

$$\text{und } j_y = \left(\frac{G}{1+\beta^2}\right)[(K-1)w_x \cdot B_z + \beta^2(K-1)w_x \cdot B_z]$$

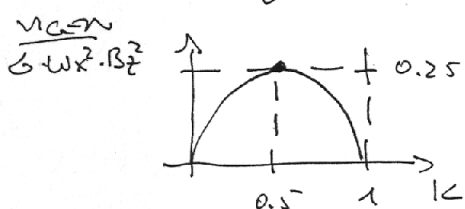
$$\rightsquigarrow j_y = \left(\frac{G}{1+\beta^2}\right)[(K-1)w_x \cdot B_z(1+\beta^2)] = G[(K-1) \cdot w_x \cdot B_z]$$

\rightarrow LEISTUNG (GENERATOR BETRIEB)

$$n_{\text{GEN}} = -j_y \cdot E_y = -G(K-1) \cdot w_x \cdot B_z \cdot \underbrace{E_y}_{K \cdot w_x \cdot B_z}$$

$$n_{\text{GEN}} = G(1-K) \cdot K \cdot w_x^2 \cdot B_z^2$$

n_{GEN} UNABHÄNGIG
VON β !



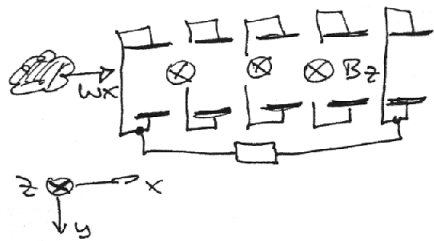
BREMSELEISTUNG

$$n_{\text{BREMSE}} = -j_y \cdot w_x \cdot B_z$$

$$n_{\text{BREMSE}} = -G[(K-1) \cdot w_x^2 \cdot B_z^2]$$

UND ANALOG (zu a))

$$\frac{m_{\text{GEN}}}{n_{\text{BREMSE}}} = \frac{G[(1-K) \cdot w_x^2 \cdot B_z^2] \cdot K}{-G[(K-1) \cdot w_x^2 \cdot B_z^2]} = K = \frac{E_y}{w_x \cdot B_z}$$

c) HALL-GENERATOR

then $E_y = 0!$ und damit

$$j_x = \left(\frac{G}{1+\beta^2}\right) [E_x + \beta(-1) \cdot w_x B_2]$$

$$j_y = \left(\frac{G}{1+\beta^2}\right) [(-1)(w_x \cdot B_2 + \beta \cdot E_x)]$$

$\rightarrow \Rightarrow E_y = 0! \rightarrow$ ANDERER LASTFAKTOR NOTWENDIG

$$k' = \frac{E_x}{\beta w_x \cdot B_2} \quad \text{und zwar aus } j_x\text{-PERATION}$$

$$\boxed{j_x = \left(\frac{G}{1+\beta^2}\right) [\beta w_x \cdot B_2 (k' - 1)]}$$

$$\boxed{j_y = \left(\frac{G}{1+\beta^2}\right) [(-1)(w_x \cdot B_2 (1 + \beta^2 k'))]}$$

UND /AUGANGSLEISTUNG D. GENERATORE

$$n_{\text{GEN}} = -j_x \cdot \tilde{E}_x = \left(\frac{G}{1+\beta^2}\right) [(1-k') (\beta \cdot w_x \cdot B_2)] \cdot k' \cdot \beta \cdot w_x \cdot B_2$$

$$\boxed{n_{\text{GEN}} = \left(\frac{G}{1+\beta^2}\right) [(1-k') k' \cdot \beta^2 \cdot w_x^2 \cdot B_2^2]}$$

WÄHL VON β DAMIT n_{GEN} GROS WIRD?

$$n_{\text{GEN}} \sim \left(\frac{1}{1+\beta^2}\right) (-\alpha + \beta) \rightarrow \text{ABCEITUNG} \frac{\left(\frac{1+\beta^2}{1+\beta^2}\right) - (\beta - \alpha) \cdot 2\beta}{(1+\beta^2)^2} = 0$$

$$\sim 1 + \beta^2 - 2\beta^2 + \alpha^2 \beta = 0 \quad \text{ODER}$$

$$\beta_{1,2} = \frac{2\alpha \pm \sqrt{4\alpha^2 + 4}}{2} = \alpha \pm \sqrt{\alpha^2 + 1}$$

$$\text{MIT } \alpha = \frac{\tilde{E}_x}{w_x B_2}$$

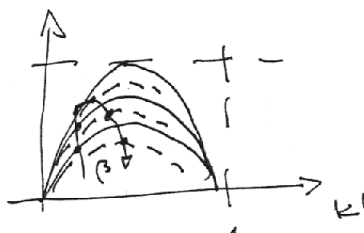
FOLGET

$$\beta_{1,2} = \frac{\tilde{E}_x}{w_x B_2} \pm \sqrt{\left(\frac{\tilde{E}_x}{w_x B_2}\right)^2 + 1}$$

$$\text{UND } \beta_1 = \frac{\tilde{E}_x}{w_x B_2} + \sqrt{\dots}$$

\Rightarrow GENERATOR

$$\frac{n_{\text{GEN}}}{w_x^2 B_2^2}$$



BETRIEBSKURVE

$$\beta_2 = \frac{\tilde{E}_x}{w_x B_2} - \sqrt{\dots} \quad \text{BECHTE KURVE}$$

BETRIEBSLEISTUNG

$$f_{\text{BETRIEBS}} = -j_y \cdot B_2 = \left(\frac{G}{1+\beta^2}\right) [w_x \cdot B_2 (1 + \beta^2 k')] \quad n_{\text{BETRIEBS}} = -j_y \cdot B_2 \cdot w_x$$

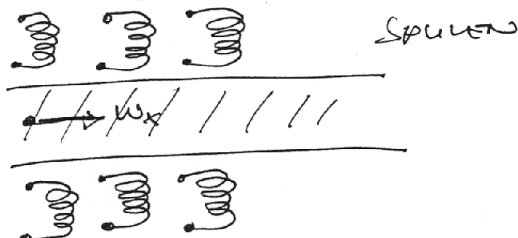
$$\text{UND } \frac{n_{\text{BETRIEBS}}}{n_{\text{BMAX}}} = \frac{\left(\frac{G}{1+\beta^2}\right) ((1-k') \cdot k' \cdot \beta^2 \cdot w_x^2 \cdot B_2^2)}{\left(\frac{G}{1+\beta^2}\right) (w_x^2 B_2^2 (1 + \beta^2 k'))} = \frac{\beta^2 k' (1-k')}{(1 + \beta^2 k')} \quad = \frac{\left(\frac{G}{1+\beta^2}\right) [w_x^2 B_2^2 (1 + \beta^2 k')]}{(1 + \beta^2 k')}$$

$$k' = 0 \rightarrow \epsilon_x = 0 \rightarrow \text{KURZSCHLUSS} \quad \frac{u_{\text{Ges}}}{u_{\text{Bmax}}} = 0 \quad 5-12$$

$$k' = 1 \rightarrow \epsilon_x = \beta \cdot k' \cdot w_x \cdot B_z \text{ (ZERLAUF)} \quad \frac{u_{\text{Ges}}}{u_{\text{Bmax}}} = 0$$

d) ELEKTRODENLOSE MITD-GENERATOREN

d) WANDERFELD-GENERATOR



- IN DEN CAPTUREN EX MAGNETFELD, DAS MIT GE SCHW. u_x WANDERT

- LEITFÄH. MEDIUM MIT GE SCHWIND. w_x

⇒ wie eine "LINEARE" ANORDNUNG EINES "ASYNCHRONMOTORS"/ "Generator",
AUSO ERGEMISCHTE MASCHE

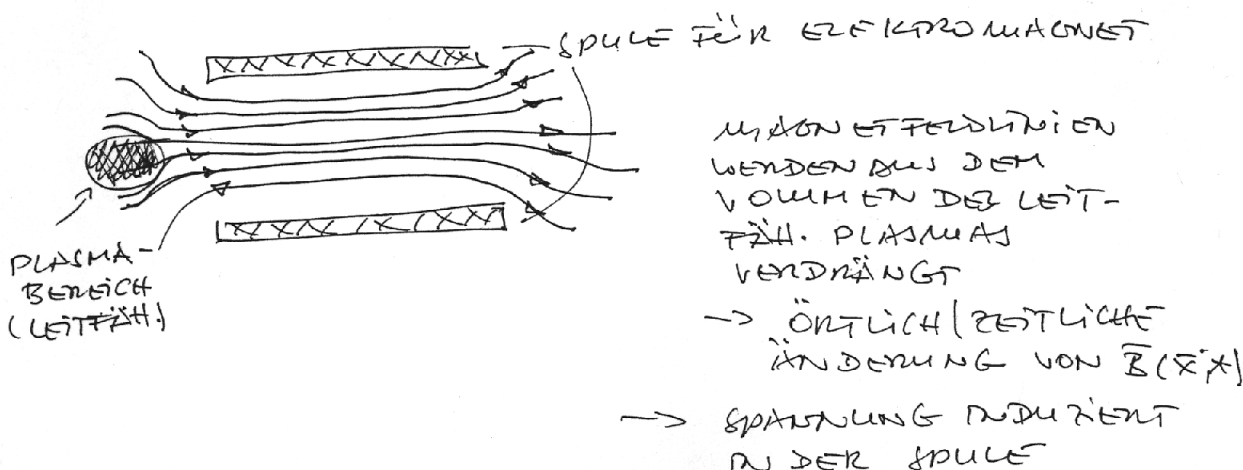
MIT DREH- ODER WANDERNDEN MAGNETFELD

$w_x < u_x \rightarrow w_x$ WIRD VON GRÖßER
(BESCHLEUNIGER)

$w_x = u_x \rightarrow$ KEIN EFFECT

$w_x > u_x \rightarrow w_x$ WIRD VERMINDET
→ STRÖM. MEDIUM
WIRD GEBREMST
(→ GENERATOR)

B) FELDVERDÄNGUNGSWANDER



FELDVERDÄNGUNG
WENDEN DER DEM
VOLUME DES LEIT-
FÄH. PLASMAS
VERDÄNGT

→ ÖRTLICH (ZEITLICH)
ÄNDERUNG VON $\vec{B}(xx)$

→ SPANNUNG INDUZIERT
IN DER SPULE

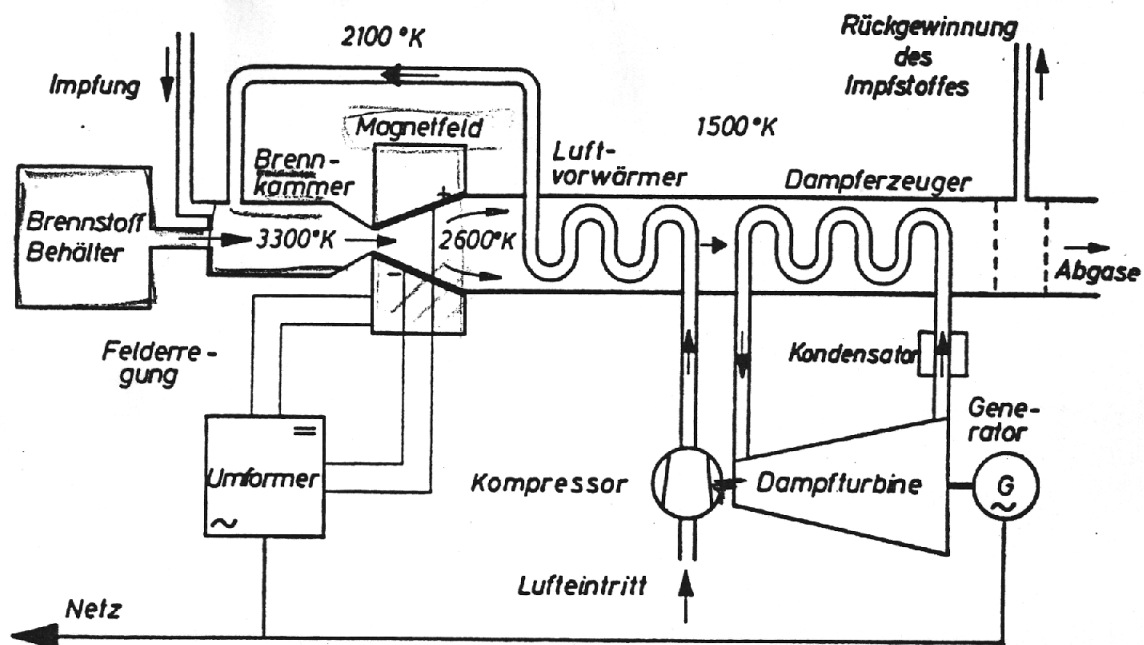


Abb. 108. Kombination eines offenen MHD-Generatorsystems mit einem konventionellen Kraftwerk

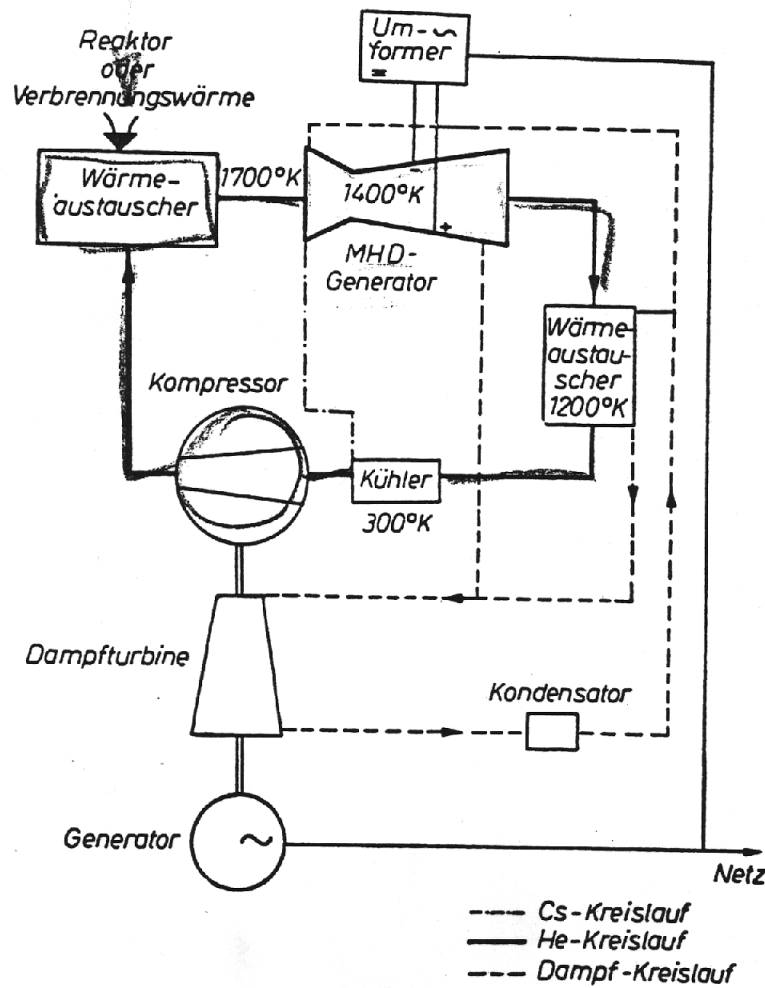
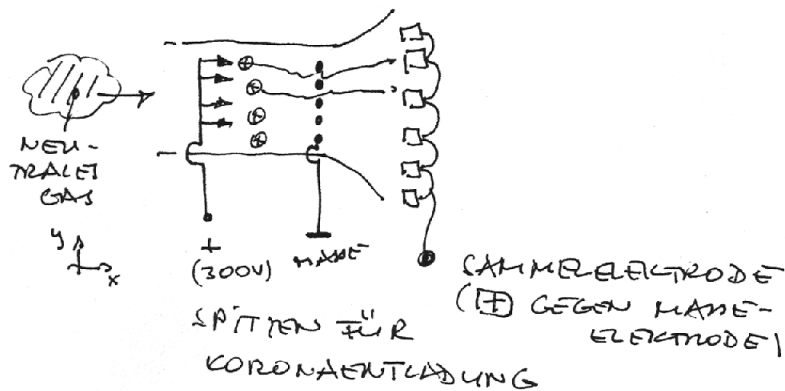


Abb. 110. Kombination eines geschlossenen MHD-Generatorsystems mit einem konventionellen Kraftwerk

e) ELEKTRODYNAMICISCHER GENERATOR

5-14



AUFLADUNGEN VON $10^3 \dots 10^6$ VOLT ZU VERURSACHTEN
(ANALOG VAN-DE-CRAAF-GENERATOR, ABER MECH.
ANGEDRIEBEN. GUMMI BAND, HIER NEUTRALTEILCHENSTROMUNG)

POS. IONEN AUS
KORONAENTLADUNG
(GEMINCE SPONTANUMA
ABER WEG. GEOMETR.
FORM D. ELEKTRODEN
→ HOHE EL. FELDSTÄRKE)
WENDEN DURCH
IN PULSÜBERTRAG VON
NEUTRALTEILCHEN-STROM-
MUNG AUF CAMMER-
ELEKTRODE TRANSPOR-
TIERT, UM SONT



5.5 "ZUGABEN"

a) SCHWUNGSCHWINDIGKEIT

$$\gamma = \frac{F}{V} = \frac{\text{Gewicht}}{\text{Volumen}}$$

AUS KONTINUITÄTSGEGLICHUNG
UND BEWEGUNGSGEGLICH.

$$\frac{\partial p}{\partial t} + \operatorname{div}(f \cdot \bar{v}_k) = 0 \quad (1)$$

$$f \left(\frac{\partial \bar{v}}{\partial t} + (\bar{v} \cdot \nabla) \bar{v} \right) = -\nabla p + \sum_i f_i \quad (2)$$

AUS (1) UND (2) FÜR EINDIMENSIONALE BETRÄFFUNG

$$(1a) \rightarrow \frac{\partial f_k}{\partial t} + \frac{\partial}{\partial x} (f \cdot v_x) = \frac{\partial f}{\partial t} + f \cdot \frac{\partial v_x}{\partial t} + v_x \frac{\partial f}{\partial x} = 0$$

$$(2a) \rightarrow f \left(\frac{\partial v_x}{\partial t} + v_x \frac{\partial v_x}{\partial x} \right) = -\frac{\partial p}{\partial x} \quad \text{mit } v_x \cdot \frac{\partial v_x}{\partial x} \gg v_x$$

$$\Rightarrow f \cdot \frac{\partial v_x}{\partial t} \approx -\frac{\partial p}{\partial x}$$

UND DARAUS MODIFIZIERT SICH (1a) ZU

$$\frac{\partial f}{\partial t} + f \cdot \frac{\partial v_x}{\partial x} = \frac{\partial f}{\partial t} - \frac{\partial p}{\partial x} = 0 \quad (3)$$

VORGANG MÄNDENÄNDERUNG \leftrightarrow DRUCKGRADIENT (SEI OHNE
WÄRMESTRÖMUNG MIT UNGEBUNG, ALSO ADIABATISCHE)

MIT $p \cdot V^{\gamma} = \text{CONST.} \rightarrow dp \cdot V^{\gamma} + p \cdot \gamma V^{\gamma-1} dV = 0$

$$\text{UND } dp = \frac{\partial p}{\partial V} dV = 0; \text{ WEGEN } f = \frac{F}{V} \rightarrow dV = -\frac{G}{f^2} dp$$

WIND

$$dp - \frac{\partial p}{V} \left(-\frac{G}{f^2} \right) df = dp + \frac{\partial p}{f} df = 0$$

UND

$$dp + \frac{\partial p}{f} df = 0 \quad \text{BZW.} \quad \boxed{\frac{\partial p}{\partial f} = p \cdot \frac{\partial \gamma}{\gamma}} \quad (4)$$

(3) WIND MIT (4)

$$f \frac{\partial v_x}{\partial t} = -\frac{\partial p}{\partial x} = -\frac{\partial p}{\partial f} \cdot \frac{\partial f}{\partial x} = -\frac{\partial p}{\gamma} \cdot \frac{\partial f}{\partial x}$$

UND DIFFERENTIATION NACH X BEI $\frac{\partial \alpha p}{\partial f} = \text{CONST.}$ ERGEBT

$$\boxed{f_0 \frac{\partial^2 v_x}{\partial t \partial x} = -\frac{p_0 \alpha_0}{f_0} \frac{\partial^2 f}{\partial x^2}}$$

UND DIFF. NACH T ANALOG

$$\boxed{\frac{\partial^2 f}{\partial t^2} = -f_0 \frac{\partial^2 v_x}{\partial x \partial t}}$$

$$\text{DARAU} \boxed{\left(\frac{p_0 \alpha_0}{f_0} \right) \frac{\partial^2 f}{\partial x^2} = \frac{\partial^2 p}{\partial t^2}}$$

WELLENGEGLICHUNG MIT PROPAGATIONSGEGLICH.

(PHASENGeschw.) OHNE DISPERSION

$$U = V_{\text{SCHAN}} = \sqrt{\frac{p_0 \alpha_0}{f_0}} = \text{Dreh. R. T}$$

b) Laval-Düse

ANSATZ: 1-dIMENSIONAL UND STATIONÄR

AUS KONT. GESETZ: $\frac{\partial}{\partial x}(\rho \cdot u_x) = 0 \rightsquigarrow \rho \cdot u_x \cdot A = \text{KONST.}$

$$\frac{\partial}{\partial x}(\rho \cdot u_x) = 0 \rightsquigarrow \rho \cdot u_x \cdot A = \text{KONST.}$$

FÜHRTE
ZU
MACHENDURCH-
SATZ

DARAUS:

$$\frac{(dA) \cdot u_x \cdot f}{A \cdot u_x \cdot f} + \frac{(du_x) A \cdot f}{A \cdot u_x \cdot f} + \frac{(df) A \cdot u_x}{A \cdot u_x \cdot f} = 0$$

$$\rightsquigarrow \frac{dA}{A} + \frac{du_x}{u_x} + \frac{df}{f} = 0$$

FOLGT

$$\boxed{\frac{dA}{A} + \frac{du_x}{u_x} = \frac{df}{f}} \quad (5)$$

MIT $f = \frac{1}{\gamma}$ (SPEC. VOLUMEN - GRÖSSE)

$$\frac{df}{dx} = -\frac{1}{\gamma^2} \dots$$

AUS BEWEGUNGSGESETZ.

$$\rho \cdot u_x \frac{du_x}{dx} = - \frac{dp}{dx} + \cancel{\left(\sum f_i \right)}$$

UND MIT γ ANSTEDE VON f

$$(6) \boxed{\frac{u_x du_x}{\sqrt{\gamma}} = - \frac{dp}{dx}} \rightsquigarrow \frac{du_x}{u_x} = - \frac{\sqrt{\gamma}}{u_x^2} dp$$

MIT ADIABATEN-RELATION

FOLGT

$$\rho \cdot u_x \frac{du_x}{dx} = - \frac{dp}{dx}$$

$$\text{UND } \rho \cdot u_x \cdot du_x = - dp$$

$\rho \cdot u^{\gamma} = \text{CONST}$ UND MIT
 $\Gamma = \frac{1}{\gamma}$; $\gamma = \sqrt{\gamma}$

WIRD

$$\frac{dp}{p} + \gamma e \frac{d\sqrt{\gamma}}{\sqrt{\gamma}} = 0 \quad \text{ODER}$$

$$\boxed{\frac{d\sqrt{\gamma}}{\sqrt{\gamma}} = - \frac{1}{\gamma} \frac{dp}{p}} \quad (7)$$

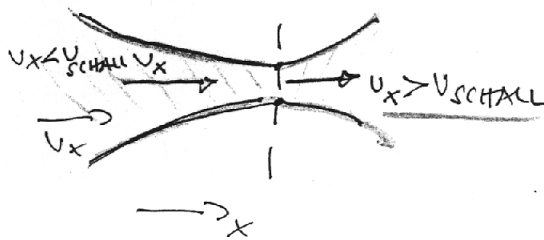
DARAUS (5), (6), (7)

$$\frac{dA}{A} = \frac{d\sqrt{\gamma}}{\sqrt{\gamma}} - \frac{du_x}{u_x} = - \frac{1}{\gamma} \frac{dp}{p} + \frac{\sqrt{\gamma}}{u_x^2} dp$$

$$\frac{dA}{A} = \left(\frac{\sqrt{\gamma}}{u_x^2} - \frac{1}{\gamma p} \right) dp \rightsquigarrow \frac{dA}{A} = \left(\frac{\gamma \frac{dp}{p} - u_x^2}{u_x^2 p} \right) dp$$

$$\Rightarrow \boxed{\frac{dA}{A} = \left(\frac{V_{\text{SCHALL}}^2 - u_x^2}{\gamma p \cdot u_x^2} \right) dp}$$

\Rightarrow STÖRUNG DURCH (1-DIM.)
KONTUR MIT ERHÖHUNG
DER GESCHWINDIGKEIT



FÜR $u_x \leq u_{\text{SCHALL}} \rightarrow \frac{dA}{A} \leq 0$!
QUERSCHNITT VERKLEINERN!

(BERNOULLI)

FÜR $u_x > u_{\text{SCHALL}} \rightarrow \frac{dA}{A} > 0$!
QUERSCHNITT VERGRÖßERN

FÜR WEITERE VERGRÖß. VON u_x
→ Laval-Düse

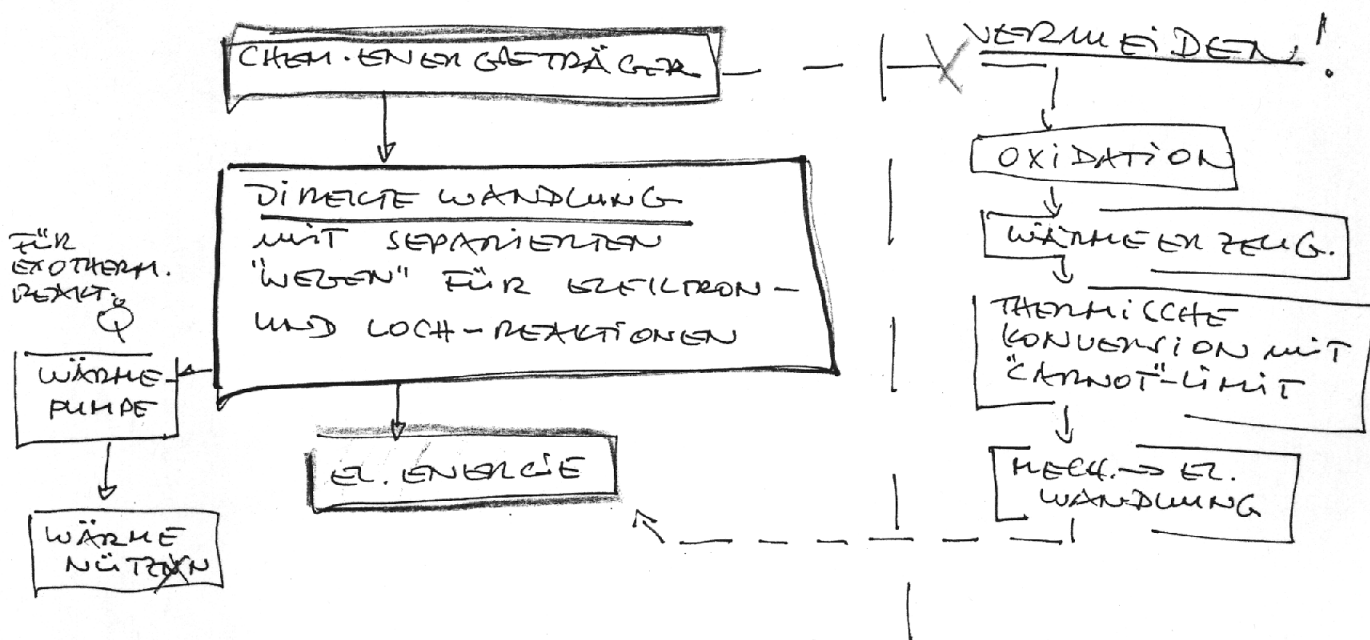
6. BRENNSTOFFZELLE (FUEL CELL)

6.1 PHÄNOMENOLOGISCHES / PRINZIPIEL

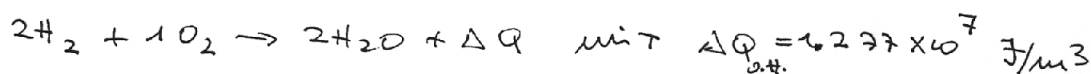
DIREKTE WANDLUNG VON CHEMISCHEM ENERGIE
VON SPEZIES (z.B. OXIDATION / ELEKTRONEN-
TRANSFER) IN ELEKTRISCHE ENERGIE
OHNE UMWEGLÜBER TERMIISCHE PROZESSE
(LIMITS DURCH 2. HAUPTGEGE UND GEHEN)

AUSGANGSMATERIAL / REAKTANTEN H_2 , CH_4 , CH_3OH , C_2H_5OH
ETC. ...

- AUS a) FOSSILIEN ENERGIEQUADEM
- b) AUS BIOMASSE (PFLANZEN + ANTH. /
FERMENTIERUNGSCHITZ)
- c) AUS EVENTUELLEN "WÄRMESTOFFWIRTSCHAFT"



BEISPIEL: a) OXIDATION von H_2 zu H_2O

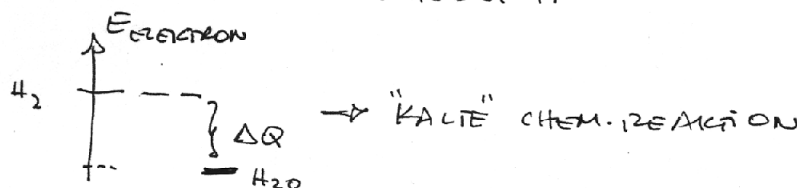


$$\Rightarrow 3.0 \text{ eV/H}_2\text{-MOLEKÜL}$$

$$= 1.5 \text{ eV/H-ATOM}$$

$$\Delta Q_{\text{u.H.}} = 1.25 \text{ eV/H-ATOM}$$

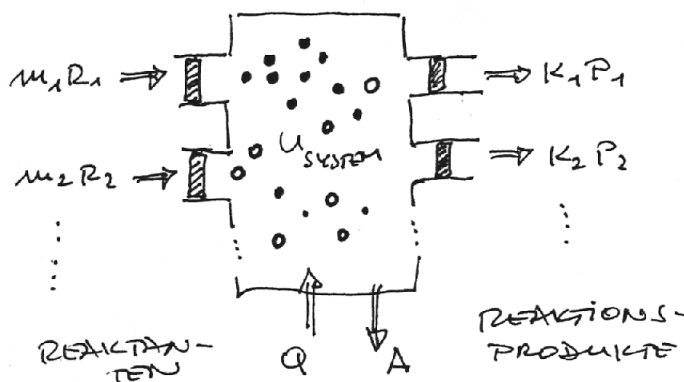
b) DIREKTE WANDLUNG AUS
ELEKTROCHEMISCHER SICHT



6.2 THERMODYNAMISCHE BESCHREIBUNG DER BRENNSTOFFZELLE

OFFENES, RESTRIKTIIVES SYSTEM (\Rightarrow DAMIT WIRD)

GIBB-POTENTIAL ALS
RELEVANTE GRÖSSE



a) CHEMISCHE MATERIALBALANZ

$$\sum_i m_i R_i = \sum_j K_j P_j$$

b) BILANZ DER CHEM. REACTIONS

$$\sum_i m_i R_i \rightarrow \sum_j K_j P_j + \Delta A_{\text{el}} + \Delta A_{\text{mech.}} + \Delta Q^* \quad \begin{array}{l} \text{zugeführte} \\ \text{WÄRME} \end{array}$$

zu MECHAN. ARBEIT $\Delta A_{\text{mech.}}$

$$\Delta A_{\text{mech.}} = - \sum_i p_i \cdot \Delta V_i + \sum_j p_j \cdot \Delta V_j \quad \text{UND mit } p_i = p_j = p \quad \begin{array}{l} \text{DRUCKE GLEICH} \\ \text{DEM DRUCK DES} \\ \text{SYST.} \end{array}$$

$$\Delta A_{\text{mech.}} = - \sum_n p \cdot \Delta V_n \cdot n \quad \begin{array}{l} \text{T. MOLZAHLEN} \\ \text{MOLVOLUMEN} \end{array}$$

für n zugeführte Spezies geschrieben

$$\text{MIT 1. HAUPTSATZ: } -\Delta Q = \Delta U_{\text{sys.}} - \sum_n p \cdot n \cdot \Delta V_n + \Delta A_{\text{el}}$$

$$= F \cdot Z \cdot \Delta \varphi$$

F-TANADY-KONSTANTE
Z-EINAKTIVIERUNGS-
PROZESS
LADUNG

$$\Rightarrow 2F \cdot \Delta \varphi = \Delta A_{\text{elektrisch}}$$

$$2F \cdot \Delta \varphi = -\Delta Q + \sum_n n \cdot \Delta U_n + \sum_n p \cdot n \cdot \Delta V_n$$

DUF ZUGEFÜHRT
SPEZIES
BEGRENN

MASSAGE DES 2. HAUPTSATZES:

$$\frac{\Delta Q_{\text{rev}}}{T} = \Delta S$$

$$\text{ODER } \frac{\Delta Q_{\text{rev}}}{T} + \frac{\Delta Q_{\text{irrev}}}{T} > \Delta S$$

DAMIT: $\Delta Q \geq \Delta S \cdot T$ UND FÄLLIG

$$\Delta A_{\text{el}} \leq \sum_n n \cdot \Delta U_n + \sum_n p \cdot n \cdot \Delta V_n - \sum_n n \cdot \Delta S \cdot T$$

falls IRREVERS.

UND WEITER:

$$\Delta A_E \leq \sum_n n_u (\underbrace{\Delta U_u + p \Delta V_u - T \cdot \Delta S_u}_{\Delta G_u})$$

$$\Delta A_E \leq \sum_n n_u (\Delta H_u - T \cdot \Delta S_u)$$

(AUF 1 MOLE BEZOGEN !)

ΔG_u - GIBBSCHES POTENTIAL

\Rightarrow AUSGANGSLEISTUNG (ELEKTRISCH)

$\eta =$ ÄNDERUNG DER GIBBSCHEN POTENTIALE
(SUMME DARAUF) DER BETEILIGTEN SPEZIES (n)

FÜR "BETRIEBSBEDINGUNGEN"

$p = \text{KONST}$ & $\sum u_u \cdot v_u = 0$ & $\Delta Q = 0$ & KEINE SONST. VERLUSTE

WIRD $\eta_{\text{THEOR}} = 1.0$ (100%) $\quad \star) \quad \star\star)$

UMKEHRUNG DER RICHTUNG DER "REACTION (ABLAUF)"
(FÄRS ALLE BETEIL. ZEIT-UMKEHR-INARIANT)

\rightarrow IDEALE ELECTROLYSE

$\star)$ IN DER REALEN WERT IST $\eta_{\text{THEOR, TOP}} = 0.9 \dots 0.95$! ERNSTICHTIG !

$\star\star)$ ZAHLENBEISPIELE IN "EINFACHE" BRENnstoffzellen

a) $H_2 | O_2$ -ZELLE (BACON-ZELL)

$$(Bei 600K \approx 300^\circ C) \quad \eta = \frac{\sum T \Delta S_u}{\sum \Delta H_u} \approx 0.20$$

b) $C | O_2$ -ZELLE

$$(1200 \dots 1300 K) \quad \eta \approx 1.0$$

REALE (ZUSÄTZLICHE) VERLUSTE IN THEOR ZELLS

- ABWEICHUNGEN VON OPTIMALER STÖCHIOMETRIE DER ELEKTROLYTEN (DURCH REAKTIONS-PMDURCHE, AUCH ANDERE ALS DIE GEWÜNSCHTEN !)

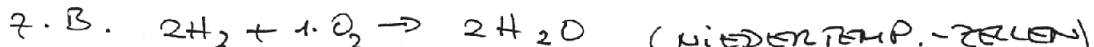
- "BERECKNUNGEN" FÜR ZU GROSSE ELEKTRODENSTOFFDICKEN (STOFFDICHTEN " >0 " ERFORDET ZWÄTTLICHE POTENTIALDIFFERENZEN, IN BRENNSTOFFZELLEN UND ELECTROLYSE-ZELLEN!) \rightarrow PORÖSE ELEKTRODEN

$\star) \quad$ In Den Reaktionen wird $\eta_{\text{THEOR, TOP}} = 0.90 \dots 0.95$!

- ÄNDERUNGEN DER ELEKTRODEN (OBENFLÄCHENMODIFIKATION DURCH CHEM. REAKTIONEN; KORROSION; ELEKTRODEN-MATERIAL WIRD ANGETÄT - GEHT IN LÖSUNG;)

6.3 CHARAKTERISTISCHE BEISPIELE / TYPEN VON BRENNSTOFF-ZELLEN

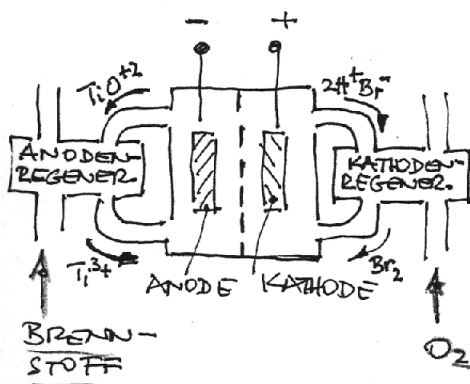
- a) DIREKTE ZELLEN mit "EINWEG-REAKTIONEN"
DER REAKTANTEN ZU REACTIONSPRODUKTEN



- b) DIREKTE ZELLEN mit IONENTASCHER MEMBRAN
(NUR 1 TYP (POS. ODER NEG.) DÄNT DURCH DIE
MEMBRAN; z.B. NUR H^+ -IONEN ...)

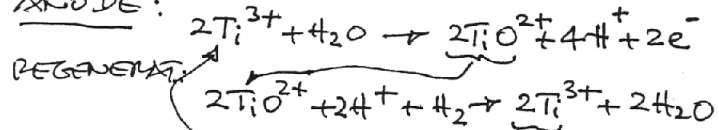
- c) INDIREKTE ZELLEN (REDOX-ZELLEN)

(ZYKLISCHER BETRIEB; P_i UND R_i BLEIBEN IM
KREISPROZESS UNTAUFTEN)

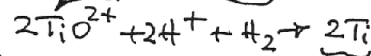


REAKTIONEN AN

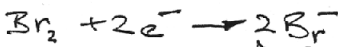
ANODE:



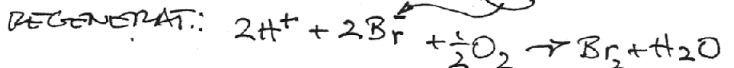
REGENERAT.



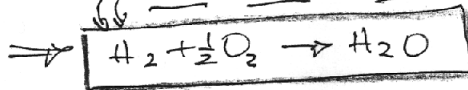
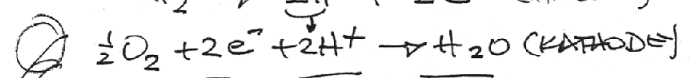
KATHODE:



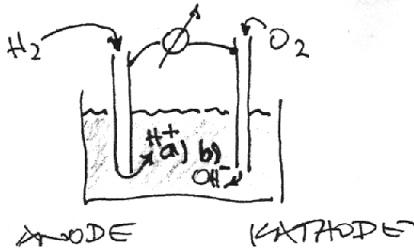
REGENERAT.



Chem. Gesamt Bilanzen $\text{H}_2 \rightarrow 2\text{H}^+ + 2e^-$ (ANODE)



a(2) WASSERSTOFF-BRENNSTOFFZELLE

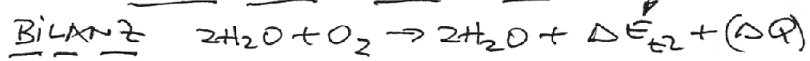
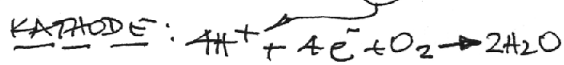
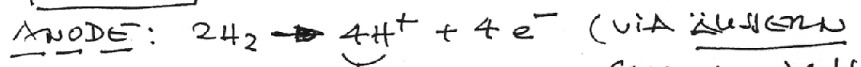


KATIONEN

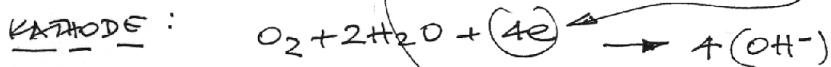
a) ELEKTROLYT \rightarrow SÄUER

b) ELEKTROLYT \rightarrow ALKALISCH

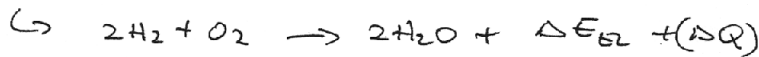
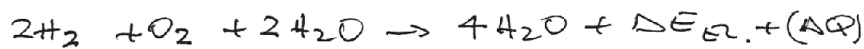
FÜR a)



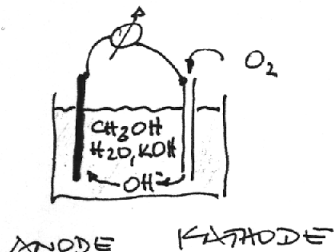
FÜR b)



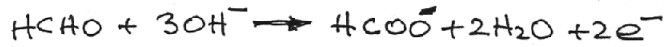
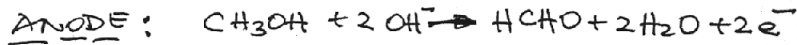
BILANZ:



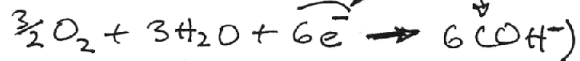
a(3) METHANOL-BRENNSTOFFZELLE



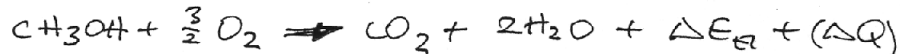
(ALKALISCHER ELEKTROLYT)



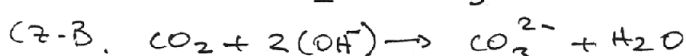
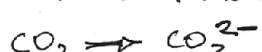
KATHODE:



BILANZ:



\hookrightarrow IM ALKALISCHEN ELEKTROLYT



\rightarrow FÜHRT ZU (OH^-) -VERARMUNG UND

ZUWACHS VON KONZENTR. KARBONATIONEN,

DADURCH LEITFÄHIGKEIT DER ELEKTROLYTEN

VERRINDET \rightarrow INNENWIDERSTAND \uparrow

VERWISTZERHE \uparrow

ZAHLENBEISPIEL zu BRENNSTOFF-ZELLE

6-6

1MOL $\text{CH}_3\text{OH} \rightarrow 32\text{ g}$

MIT 6.03×10^{23} MOLECÜLE["]/MOL

MIT 6 EL. PRO METANOL-MOLECÜL

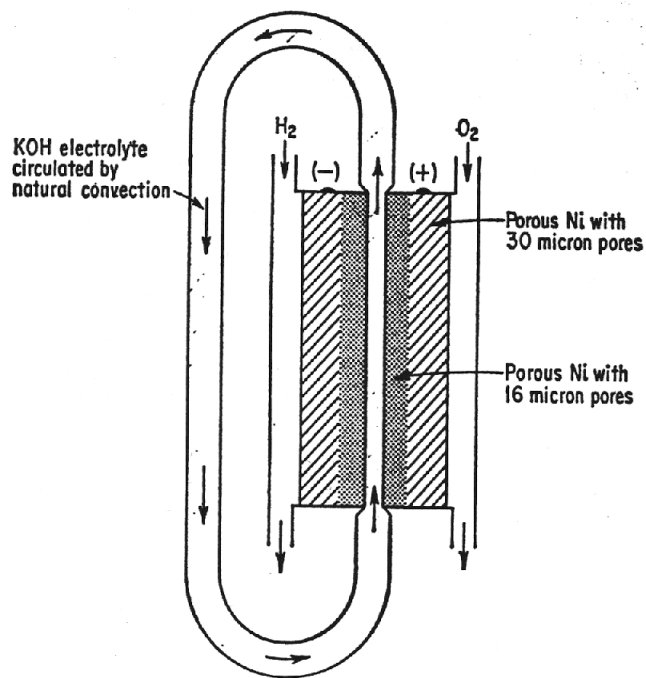
$$\rightarrow 6.03 \times 10^{23} \times 6 \times 1.6 \times 10^{-19} \text{ As} \rightarrow 6 \times 10^5 \text{ Asec/mol CH}_3\text{OH}$$

$\Rightarrow 160\text{ Ah!}$

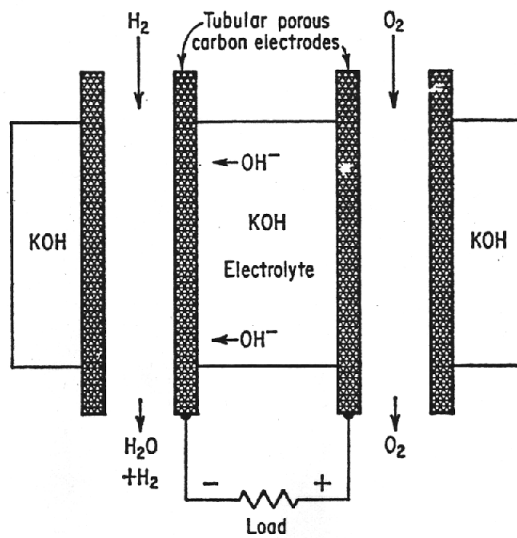
(wie Autobatterie!!)

BETRIEB MIT Z.B. 0.5V UND 100mA

REICHT 1MOL CH_3OH CA 70 TAGE > 2 MONATE!



BACON-CELL (LEESONA MOOS LABORATORIES
VERSION).



UNION CARBIDE CELL.

ANS S.S.L. CHANG
"ENERGY CONVERSI."
PRENTICE HALL, N.J., 1963

7. WEITERE "EXOTISCHE" WANDLERTYPEN

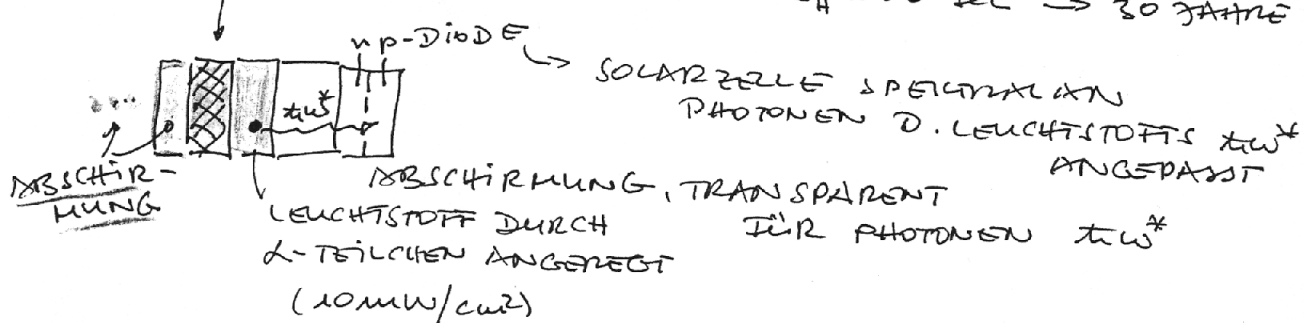
(IHR SPEZIELLE ANWENDUNGEN)

7-1

7.1 RADIONUKLEID-BATTERIE

RADIOAKTIVES ELEMENT (Pu^{147} , 120 C/cm^2)

$$\tau_h = 10^3 \text{ sec} \rightarrow 30 \text{ JAHRE}$$



$$\rightarrow 3 \times 10^{16} \text{ PHOT}/\text{cm}^2 \cdot \text{sec}$$

$$n_{el} = 10 - 10^2 \mu \text{W}/\text{cm}^2$$

("HERZ-SCHNITTLAUFER"!)

7.2 THERMOPHOTO-ELEMENT



LINSE FÜR STRAHLUNGSKONZENTRATION

ABSORBER, DER BEI CHARAKT. TEMP.

IM IR-REGIME STRAHLT

"IDEALER" BANDFILTER, LASST NUR tw^* DURCH

\rightarrow ABSORBER "VERLIERT" NUR tw^* -

PHOTONEN, ALLE ANDERN WERDEN VON

DEN WÄNDEN (REFLEKTOR) DES ABSORBERS

"ZURÜCKGEGEBEN"

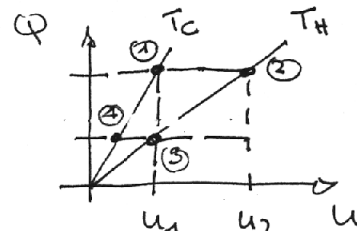
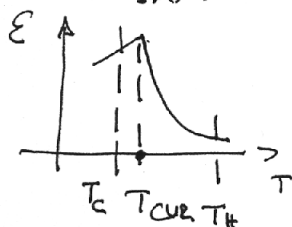
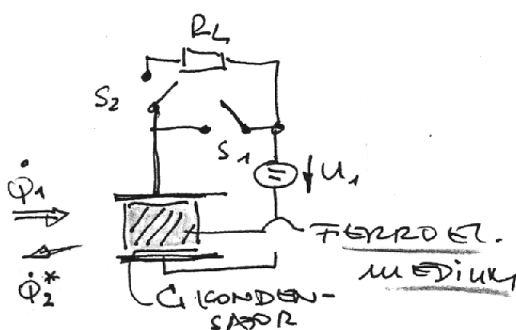
$$\eta \approx 0.30$$

ÜBER TECHNOL. SEHR AUFWENDIG

(VAKUUM; HOHE TEMP. DES ABSORBERS; SOLARZELLE

'IR-PHOTONEN!')

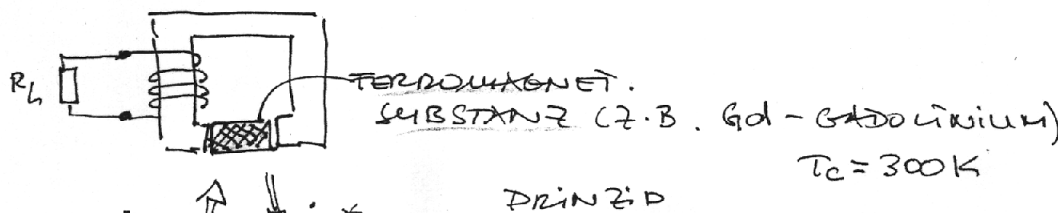
PRINZIP: ÄNDERUNG DER DIELEKTRISCHEN FUNKTION ϵ MIT VARIATION DER TEMPERATUR (z.B. BaO_3Ti)
(TEMP IN DER NÄHE DER CURIE-TEMP.)



- ① S_2 auf, S_1 zu $\rightarrow C$ bei $T=T_C$ aufladen $\rightarrow S_1$ auf!
- ② Q_1 zuführen $\rightarrow T_c \rightarrow T_H$ mit Q (Ladung) konstant ($C = \epsilon_0 \frac{\Delta}{d}$) $\rightarrow U = \frac{Q}{C} \sim U \uparrow$ ÄNDERT SICH DURCH R_L
- ③ S_2 zu, $\sim U_2$ TREIBT LADUNG (strom) UND LÄDT BATT. WIEDER AUF.
- ④ S_2 auf, $-Q_2^*$ zuführen (treibt ABFLÜHREN) $C \uparrow, \epsilon \uparrow \sim U \downarrow$ BEI GLEICHER LADUNG
- ⑤ S_1 zu ... zu ① zurück

$$\Delta A_{\text{AUF-LAD.}} = \int_2^3 Q dU; \quad \Delta A_{\text{BATT}} = \int_4^1 Q dU \rightarrow \Delta A_{\text{NETTO}} = \underbrace{\Delta A_{\text{AUF.}}}_{>0} + \underbrace{\Delta A_{\text{BATT}}}_{<0}$$

7.4 THERMO-FERROMAGNET. GENERATOR



PRINZIP
ANALOG 7.3. TEMP. ABHÄNGIGKEIT
DER MAGNET. SUSCEPTIBILITÄT
 \Rightarrow ÄNDERUNG DES MAGNET. FELDES
DURCH SPULE \rightarrow NOCHE. SPANNUNG